

FIG. 1

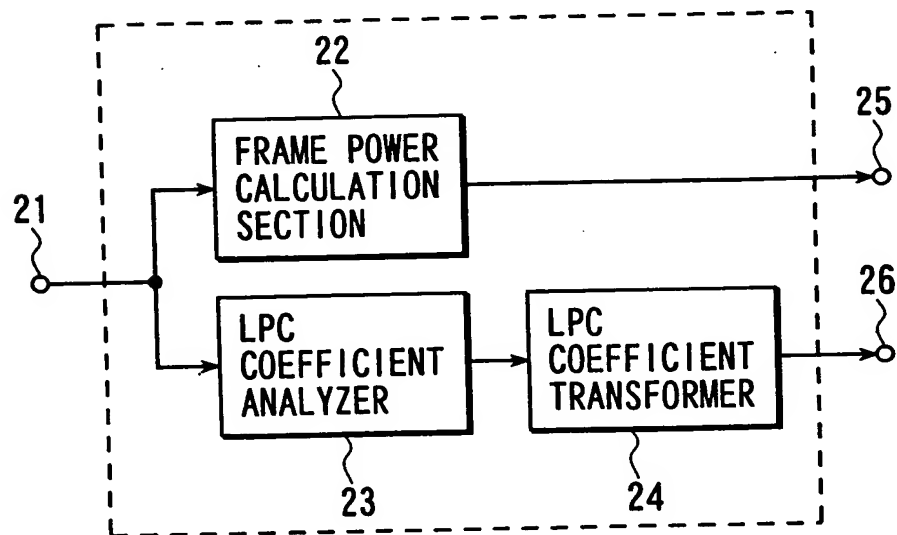


FIG. 2

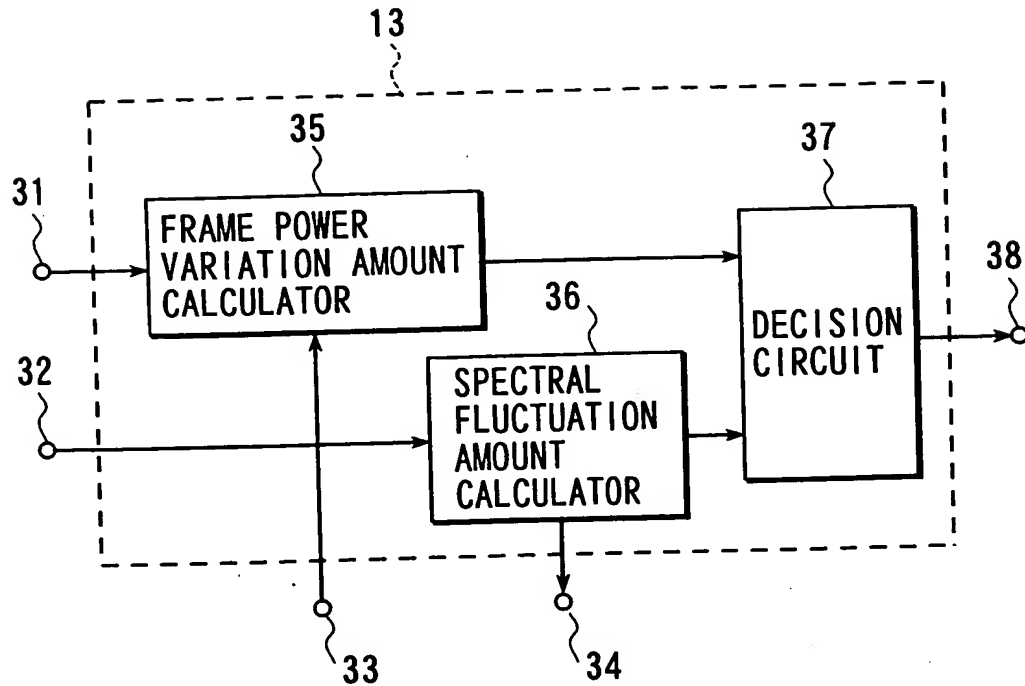


FIG. 3

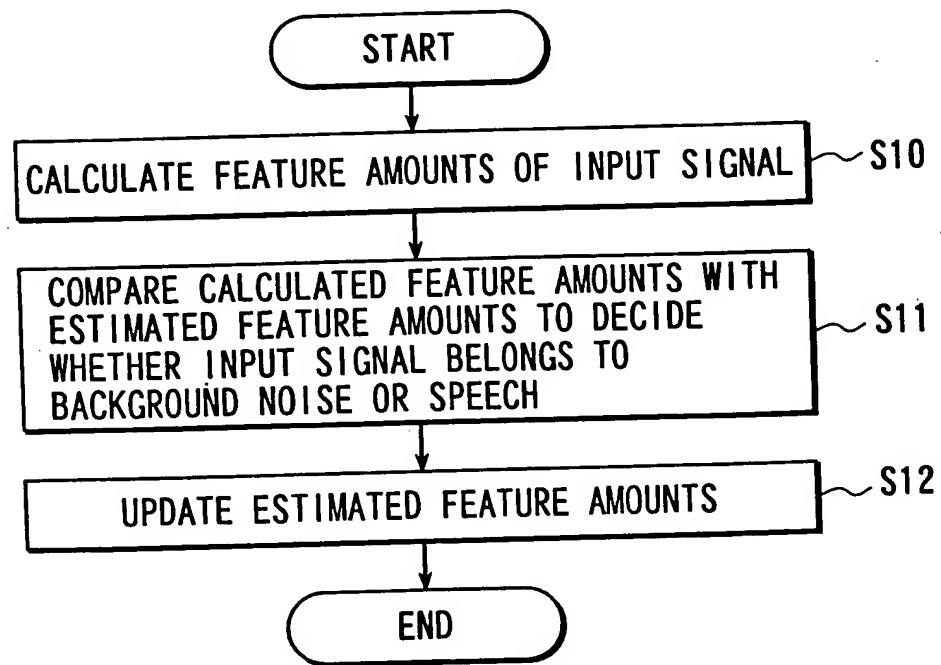


FIG. 4

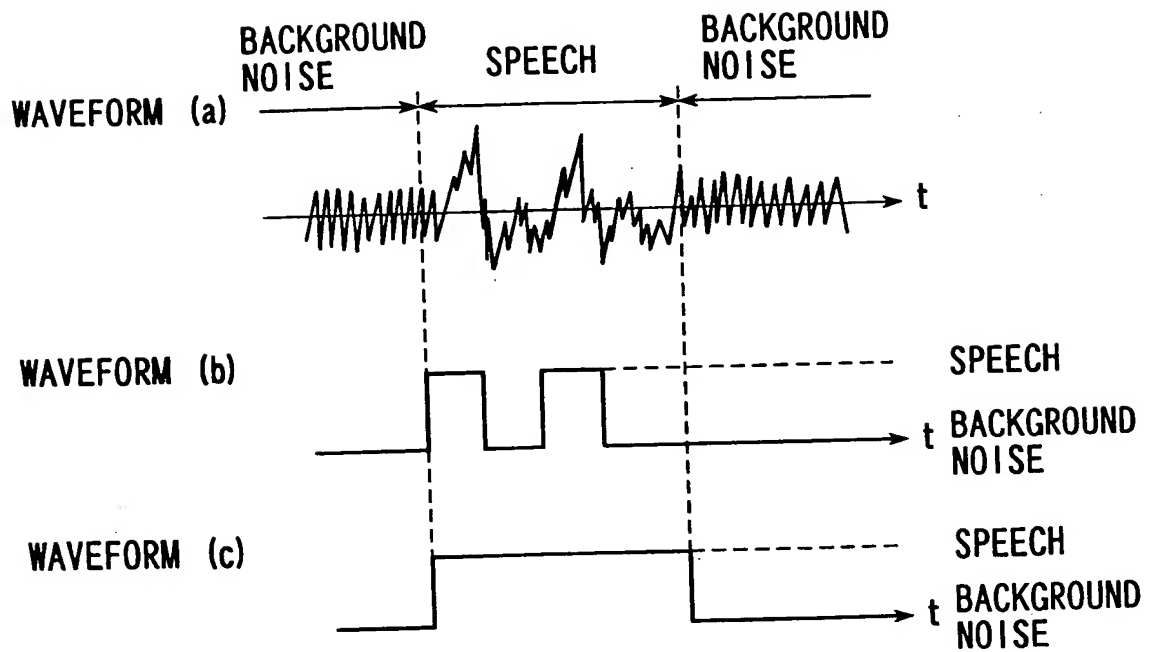


FIG. 5

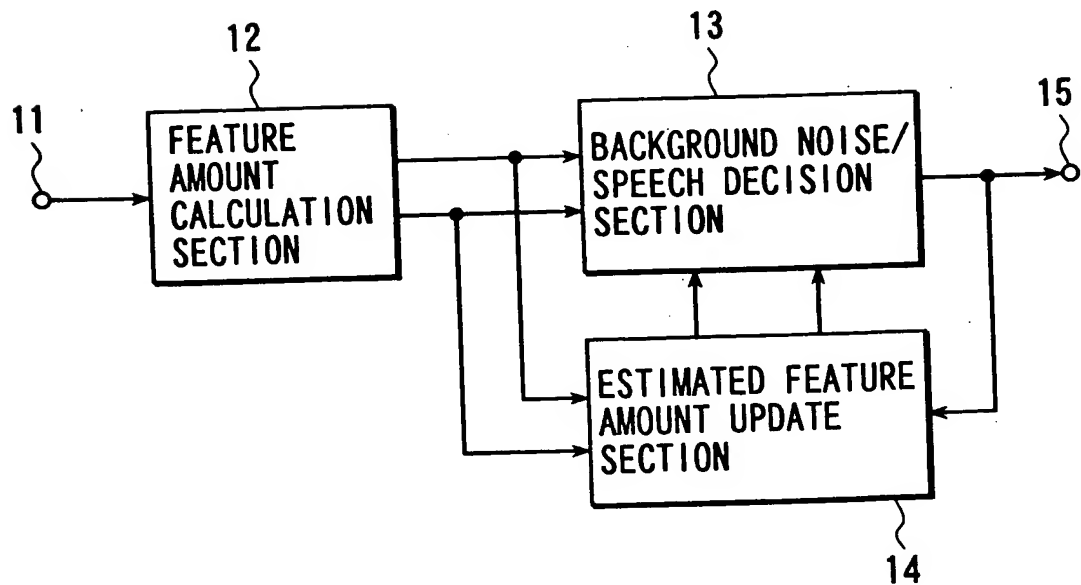


FIG. 6

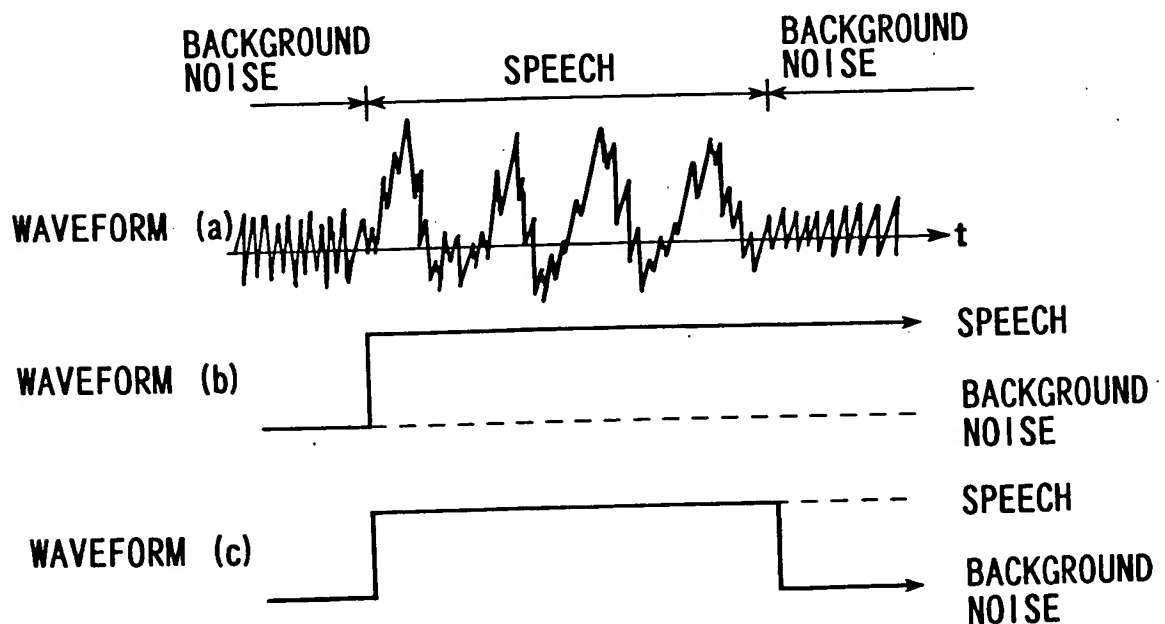
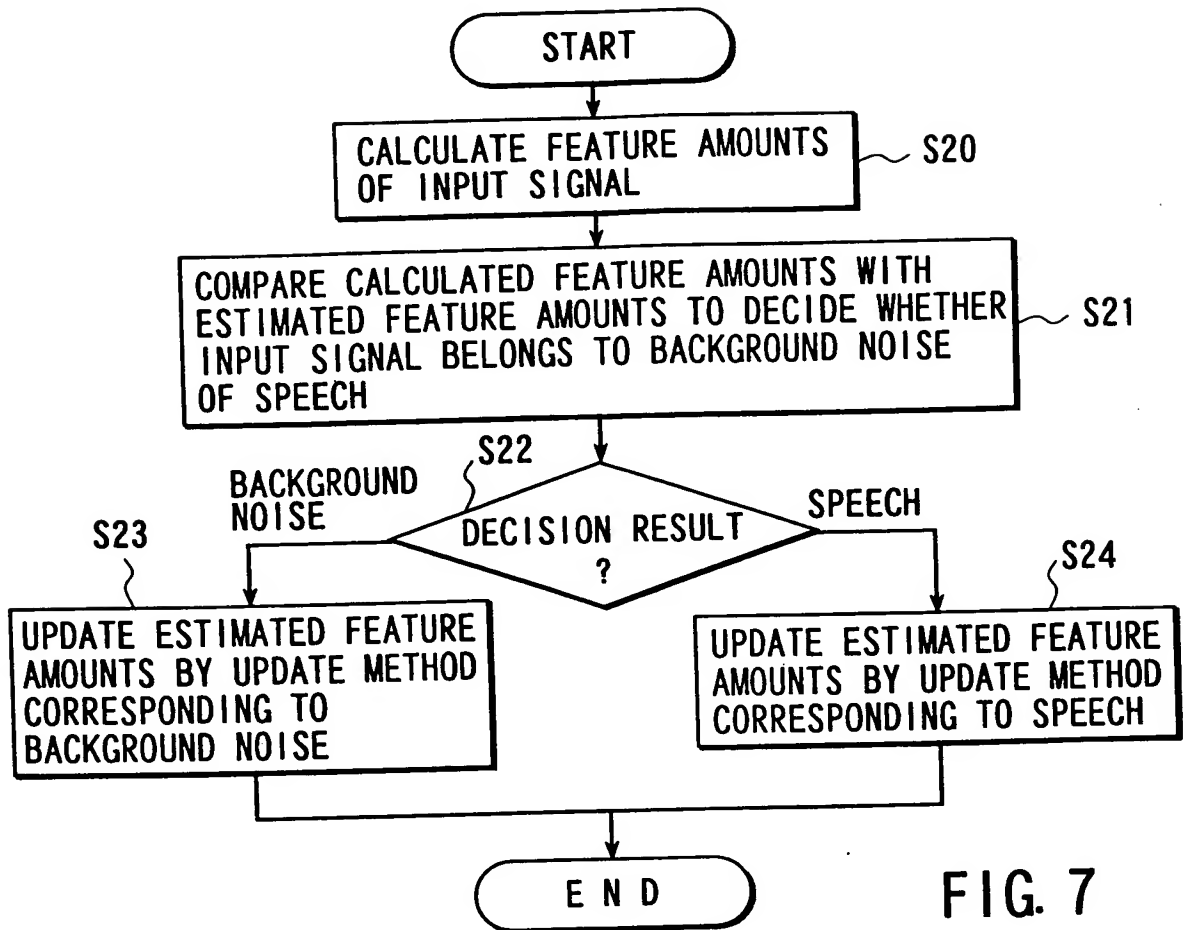


FIG. 8

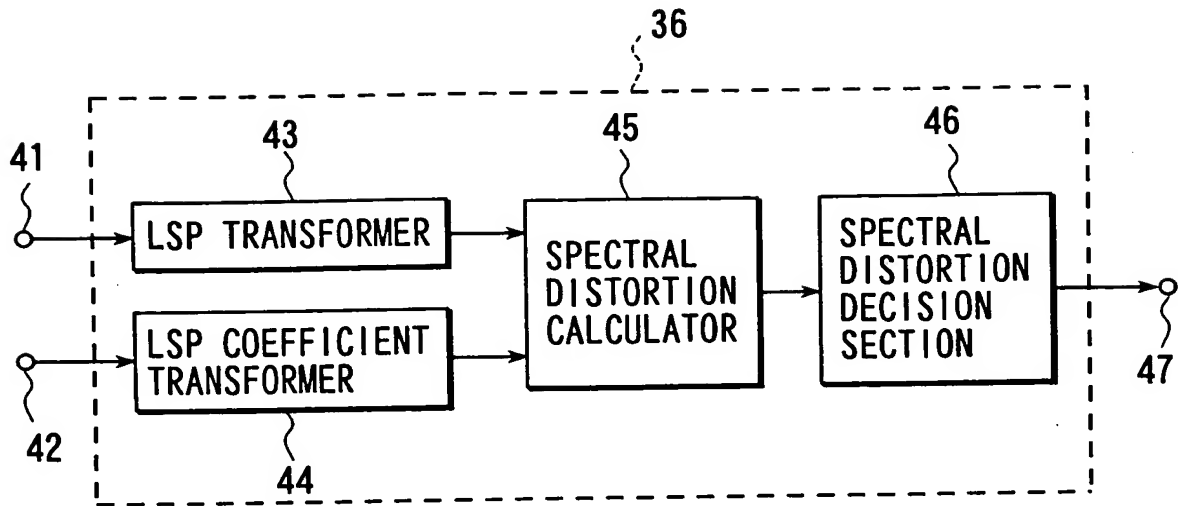


FIG. 9

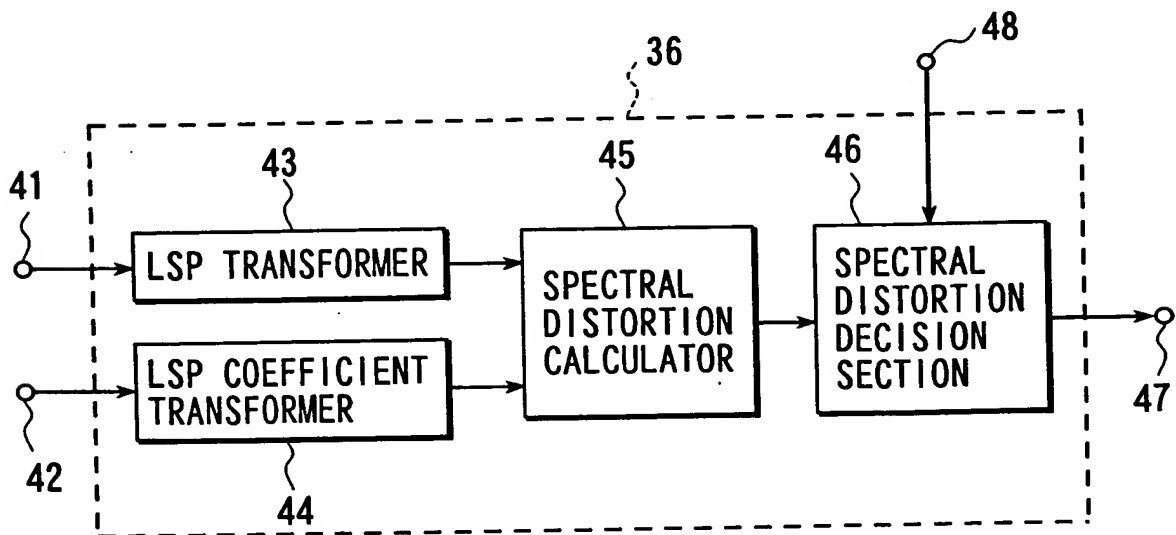


FIG. 10

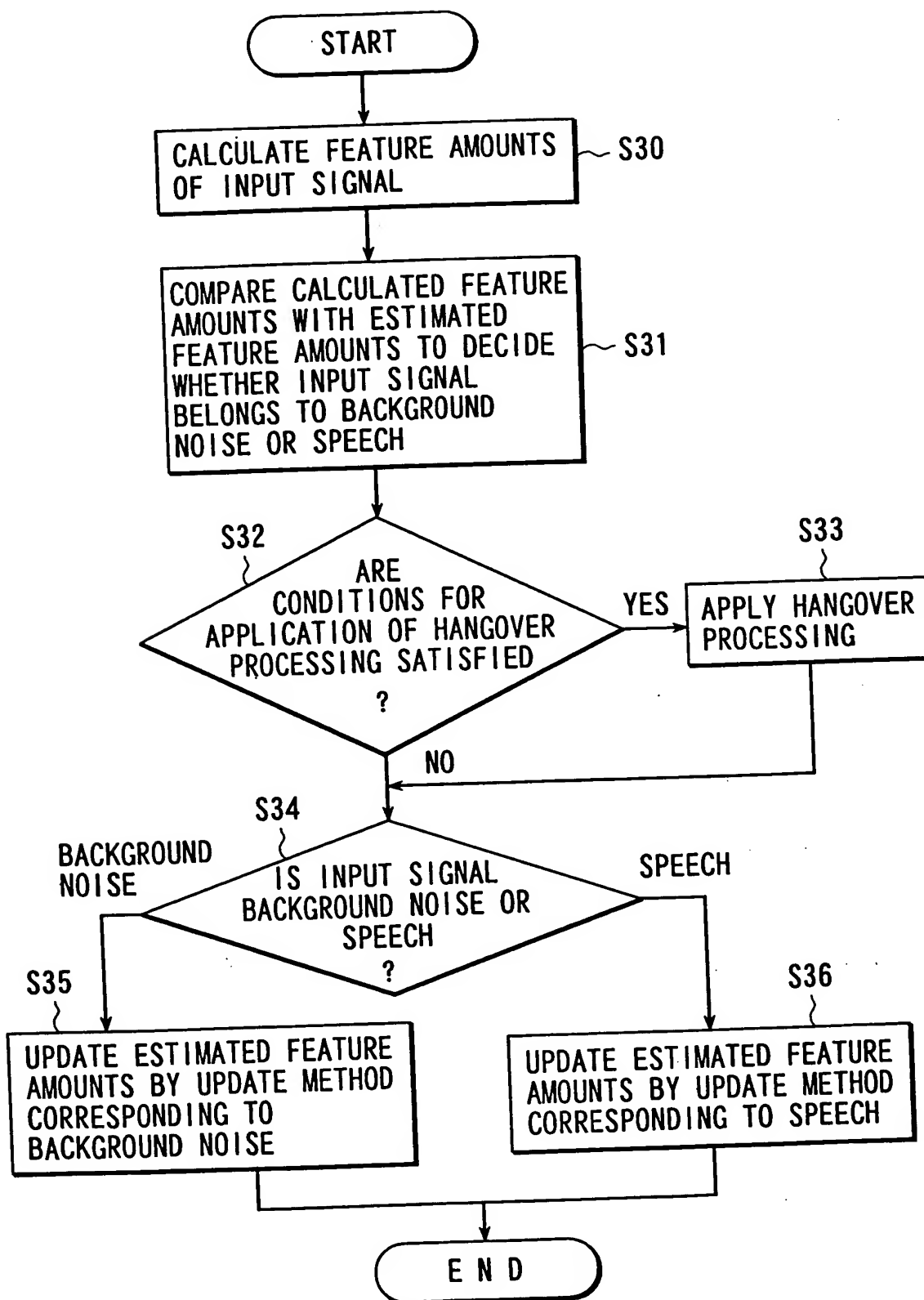


FIG. 13

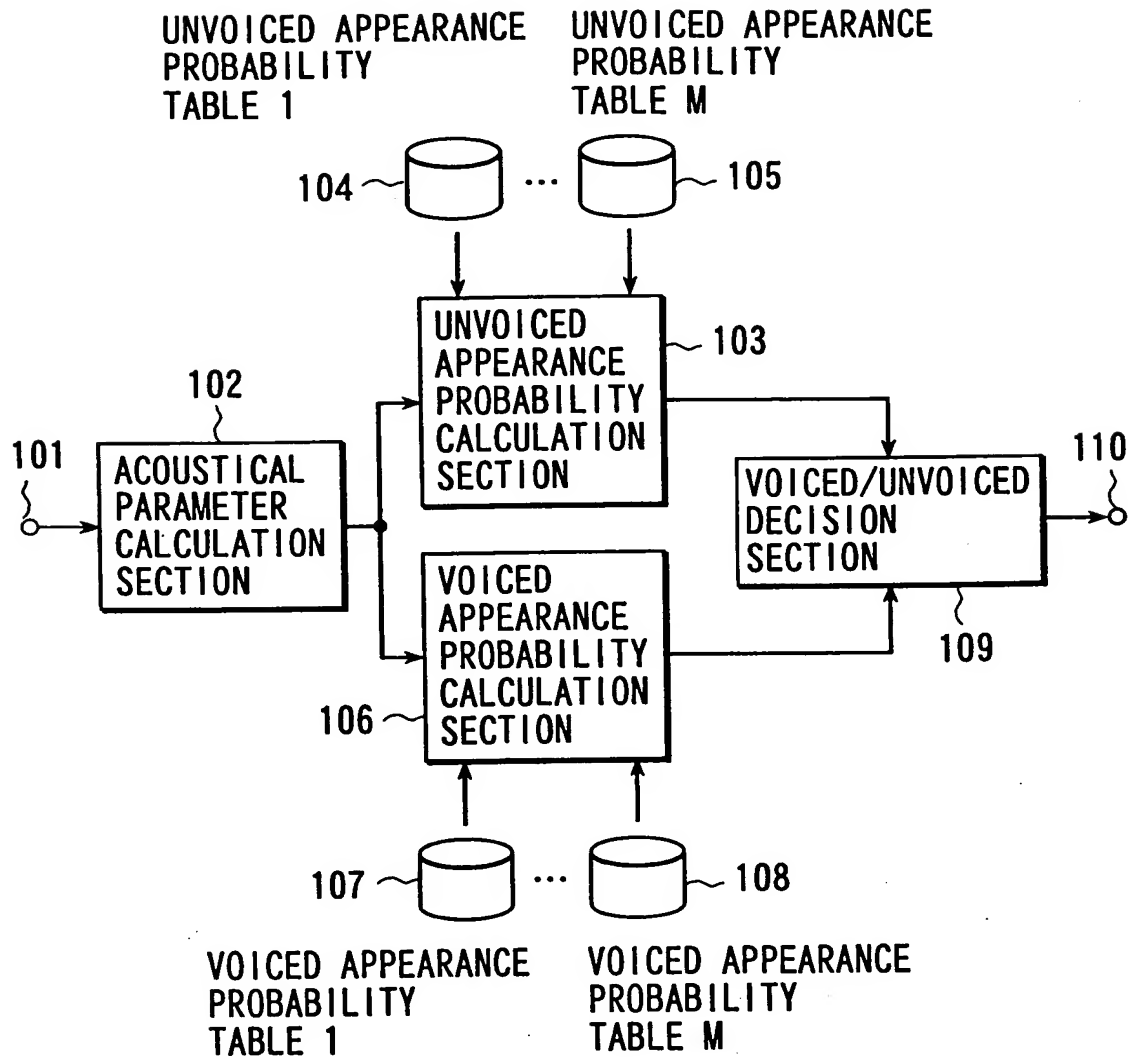


FIG. 14

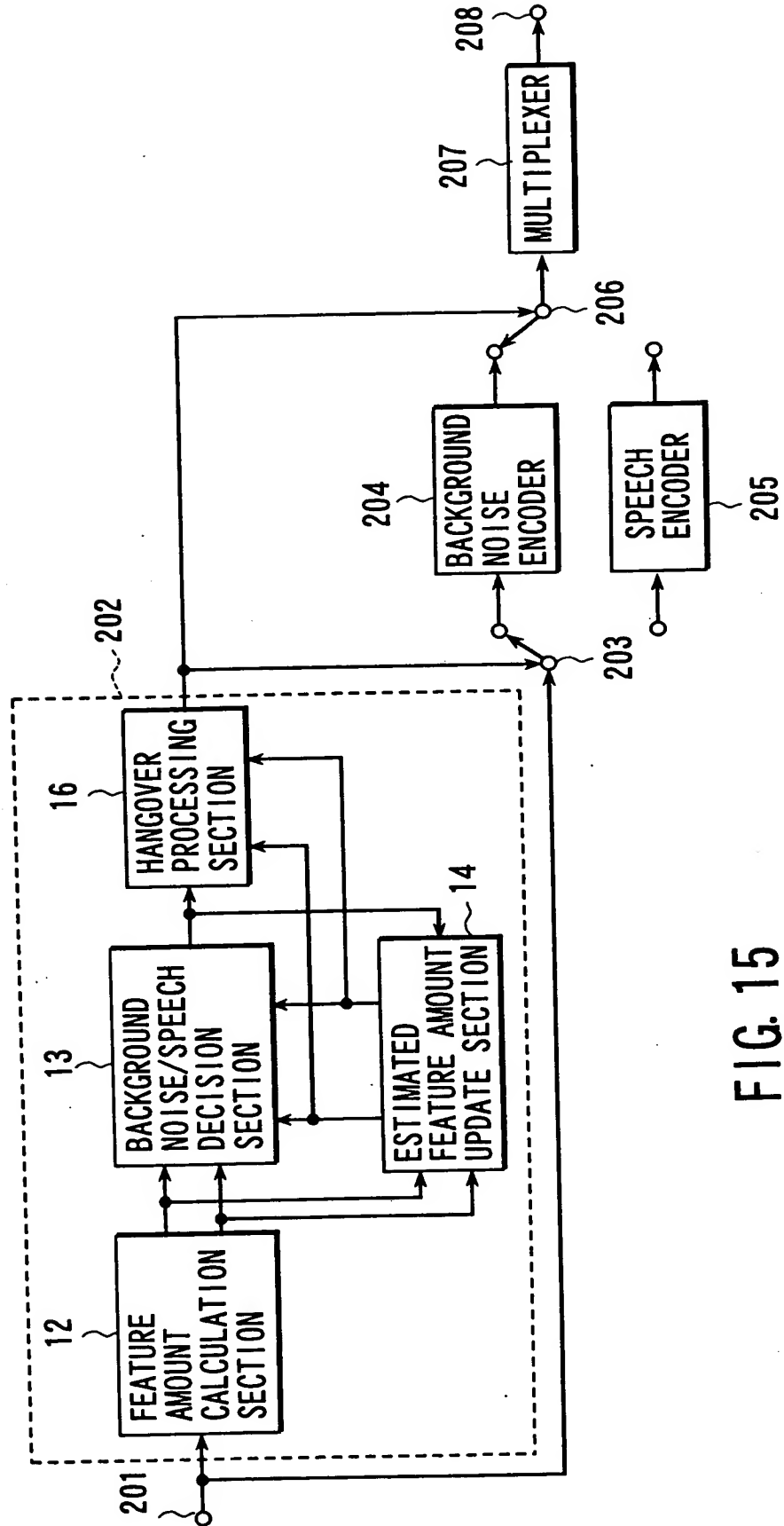


FIG. 15

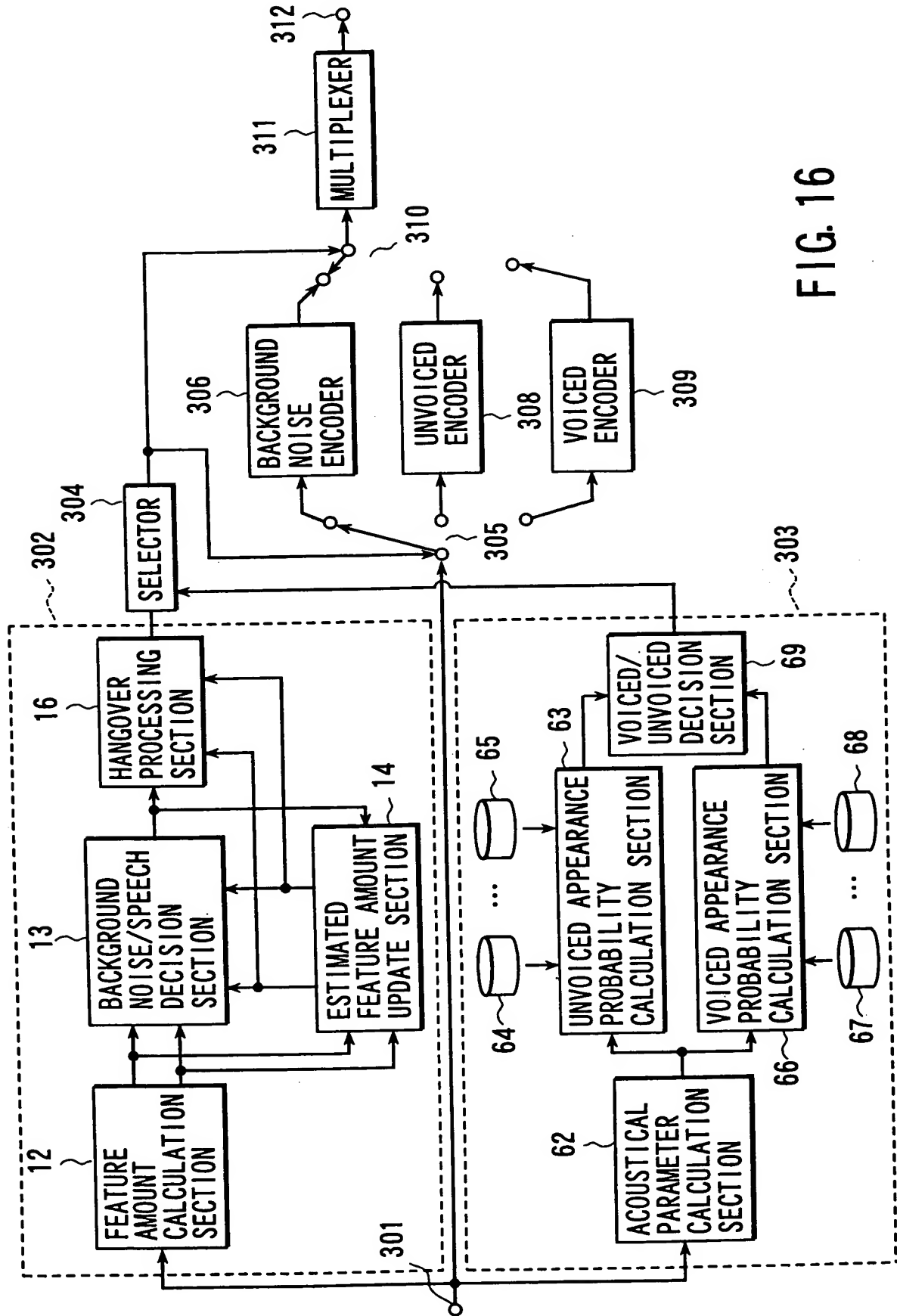


FIG. 16

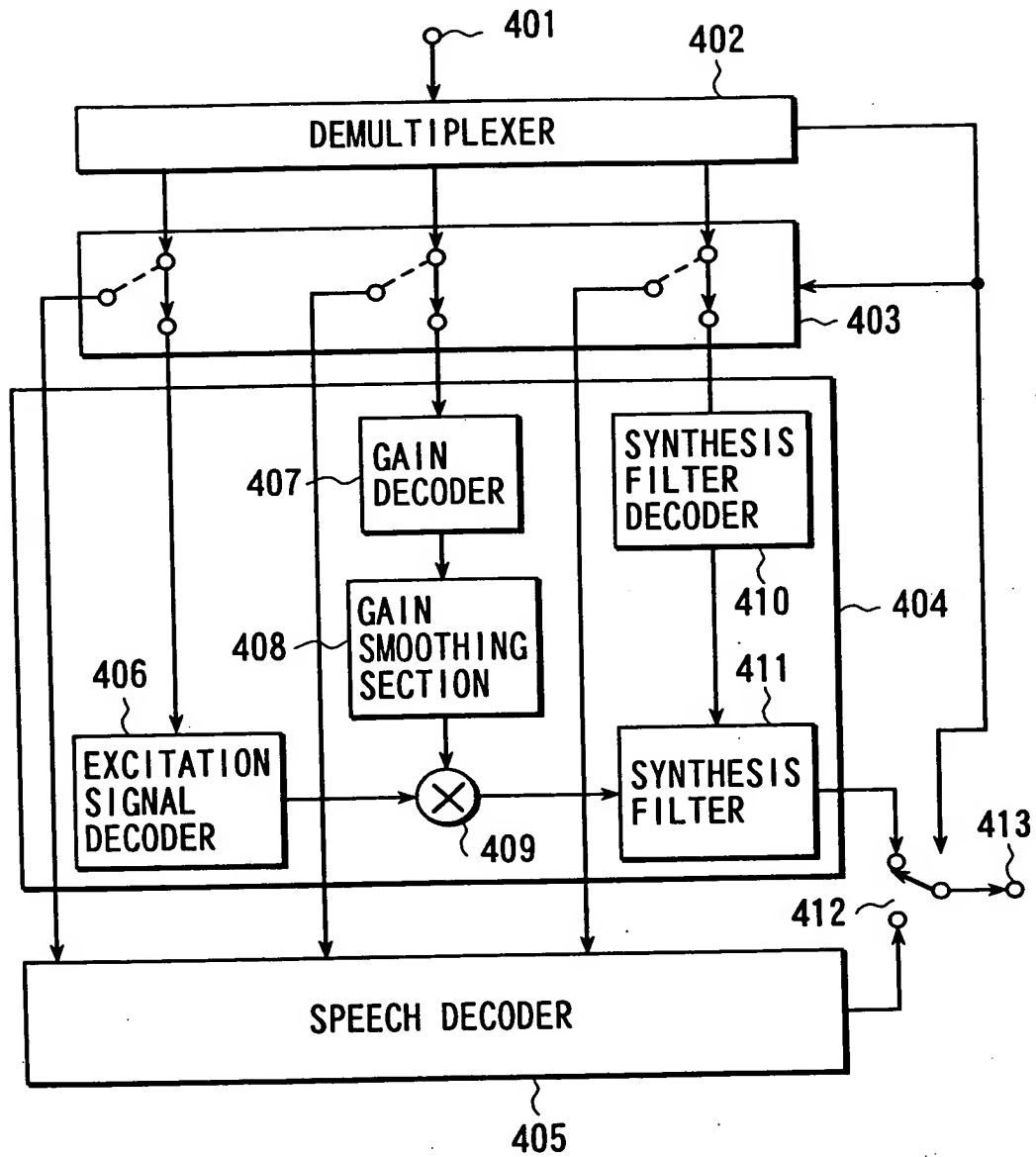


FIG. 17

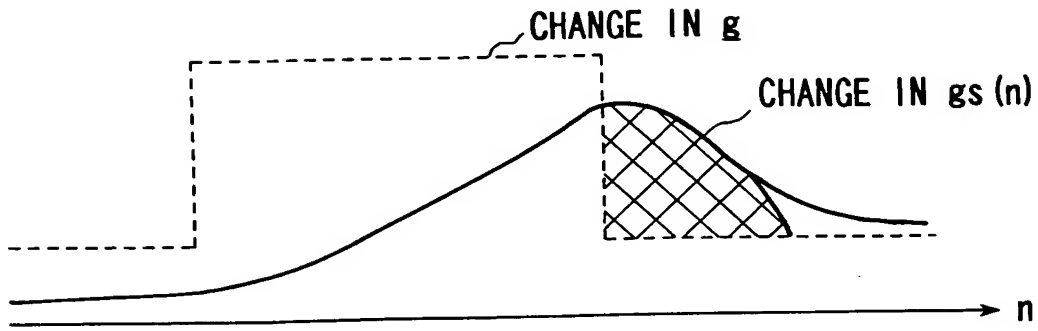


FIG. 18

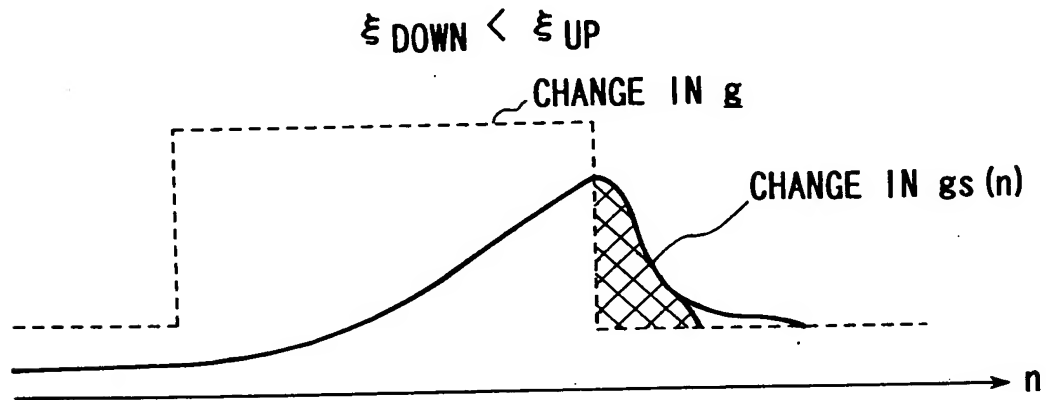


FIG. 19

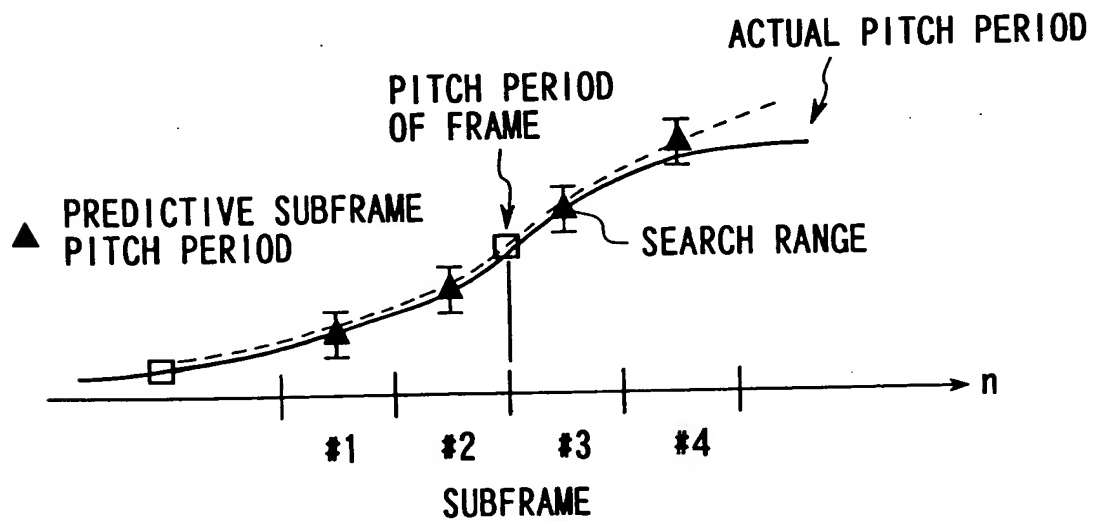


FIG. 20

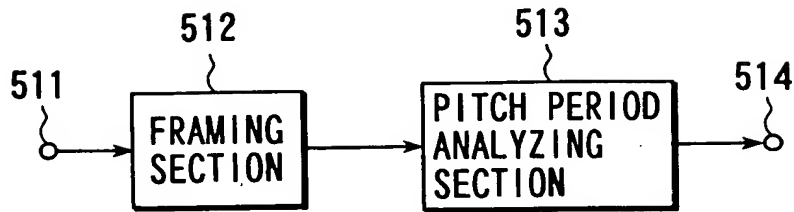


FIG. 21

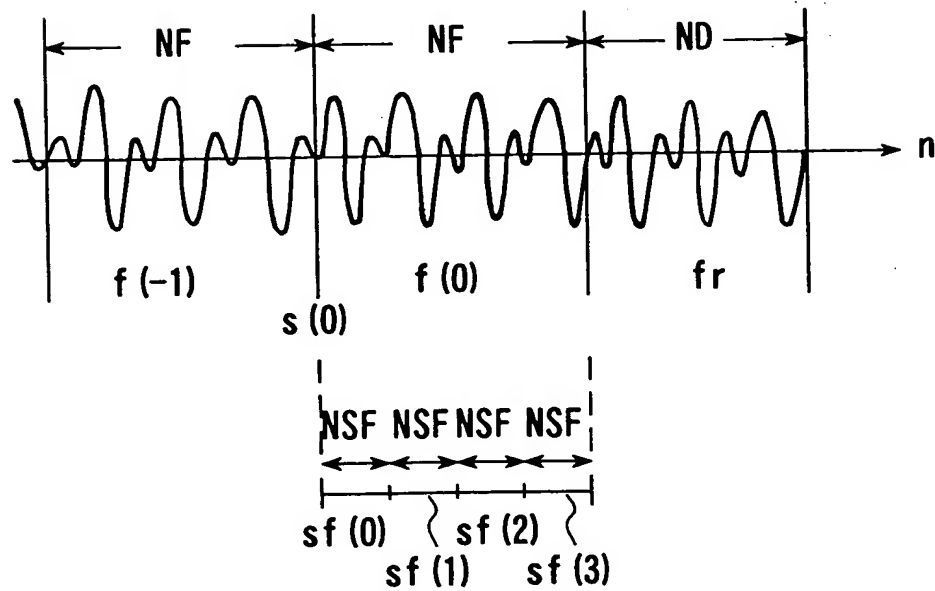


FIG. 22

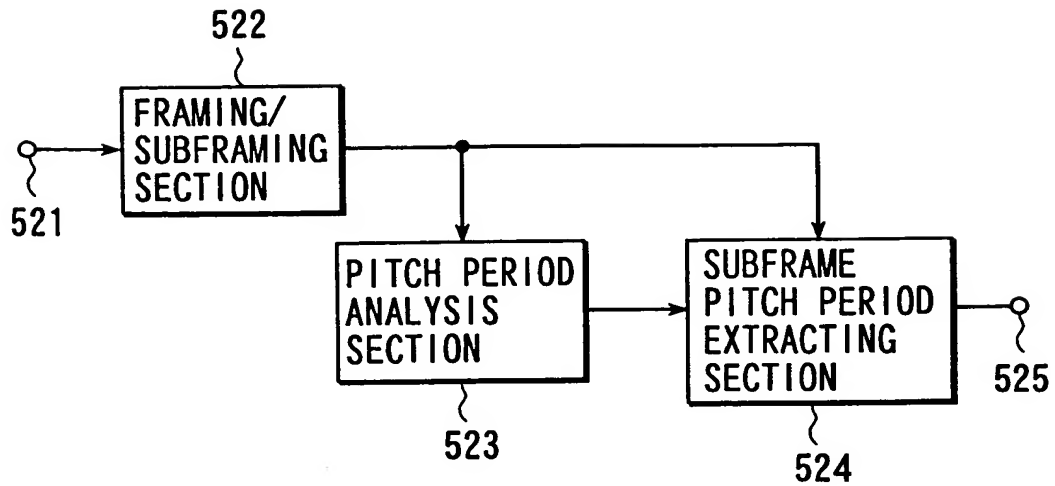


FIG. 23

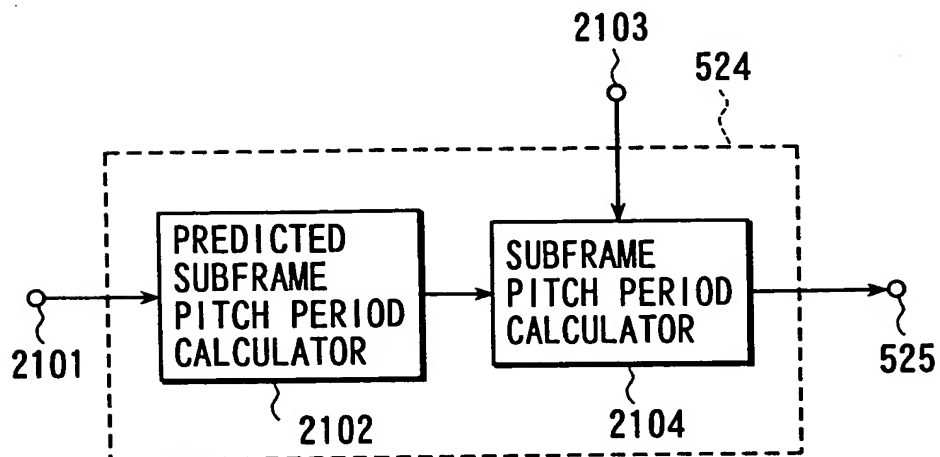


FIG. 24

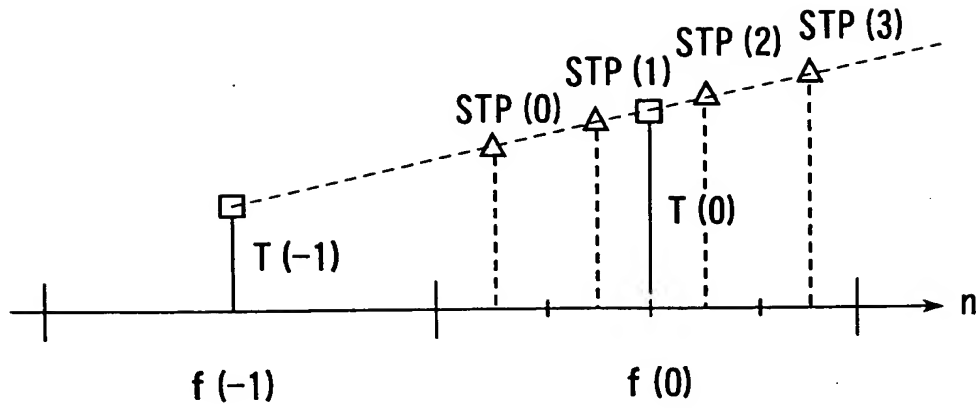


FIG. 25

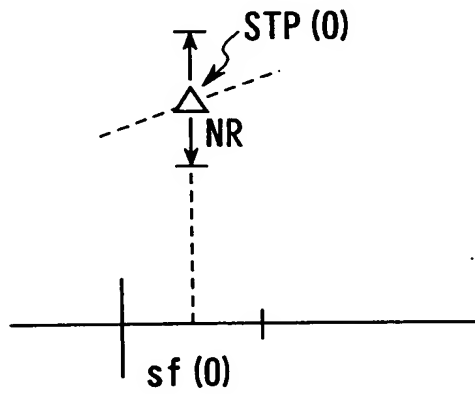


FIG. 26

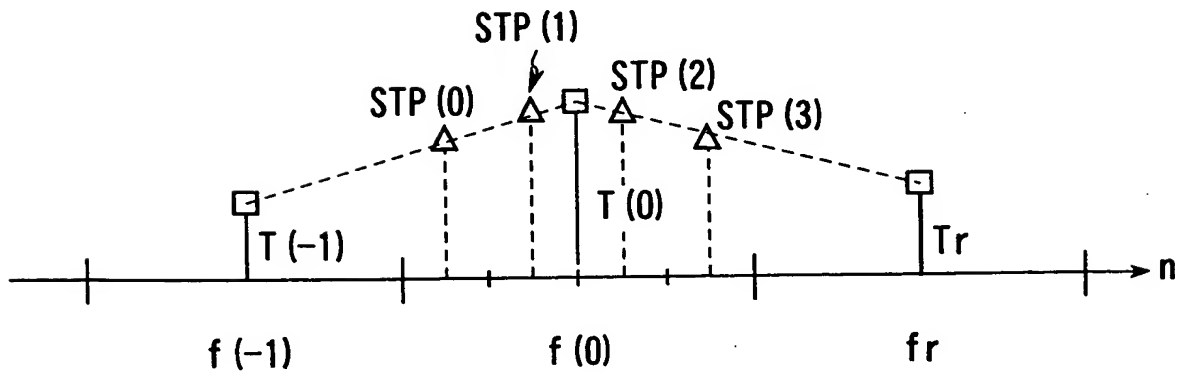


FIG. 28

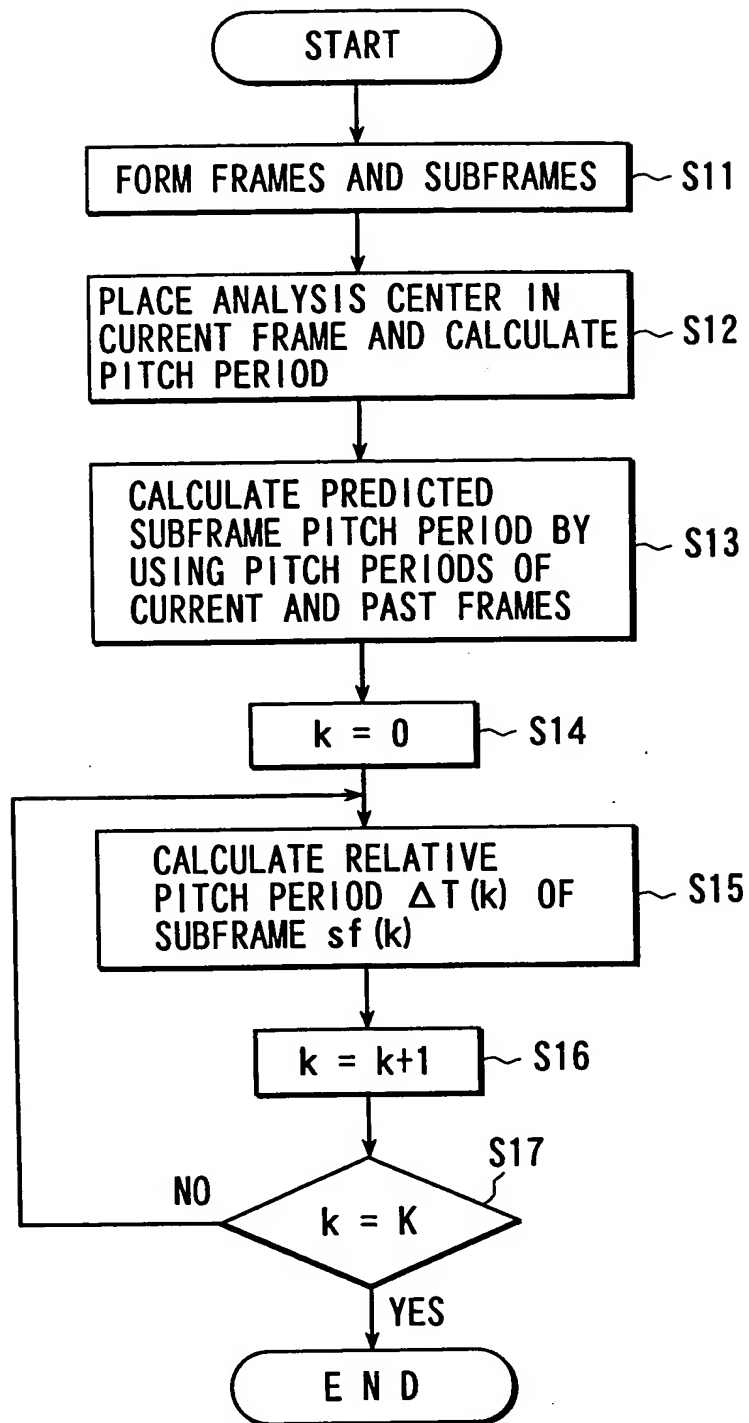


FIG. 27

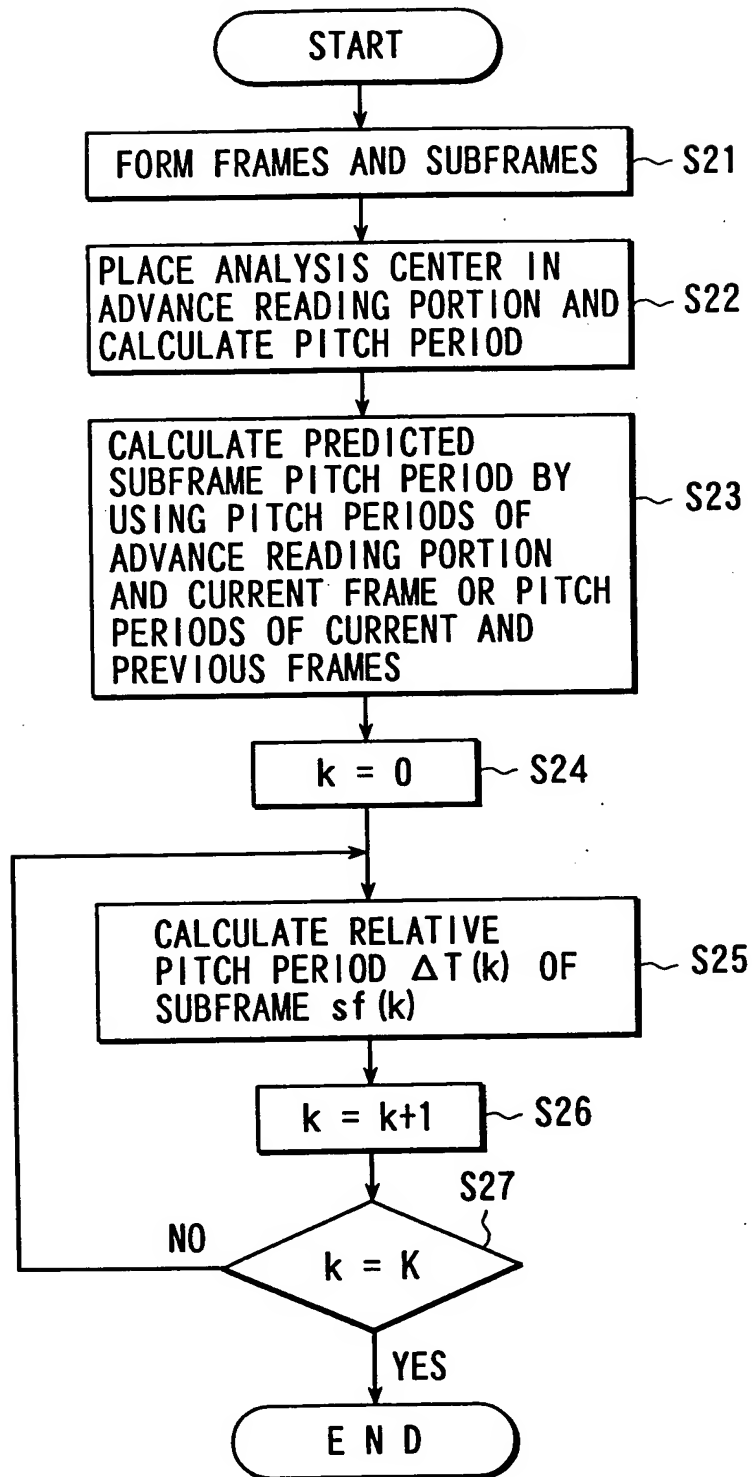


FIG. 29

PREDICTED SUBFRAME PITCH
 \triangle PERIOD OBTAINED BY USING
 $T(-1)$ AND $T(0)$

PREDICTED SUBFRAME PITCH
 \blacktriangle PERIOD OBTAINED BY USING
 $T(-1)$, $T(0)$, AND T_r

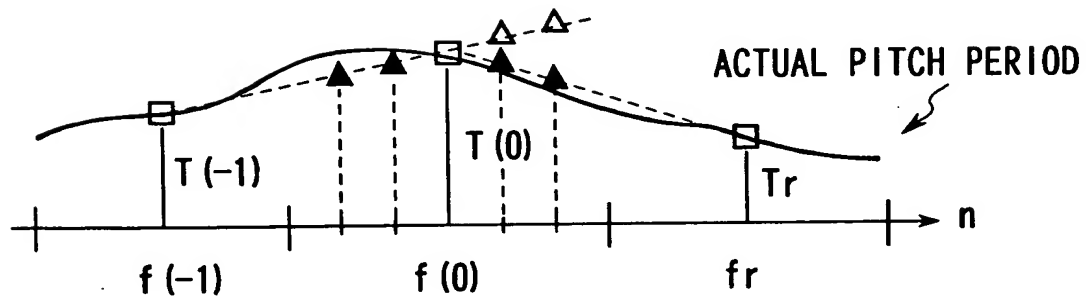


FIG. 30

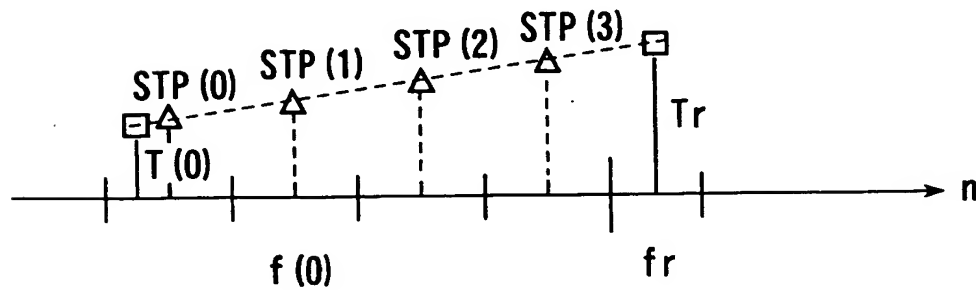


FIG. 31

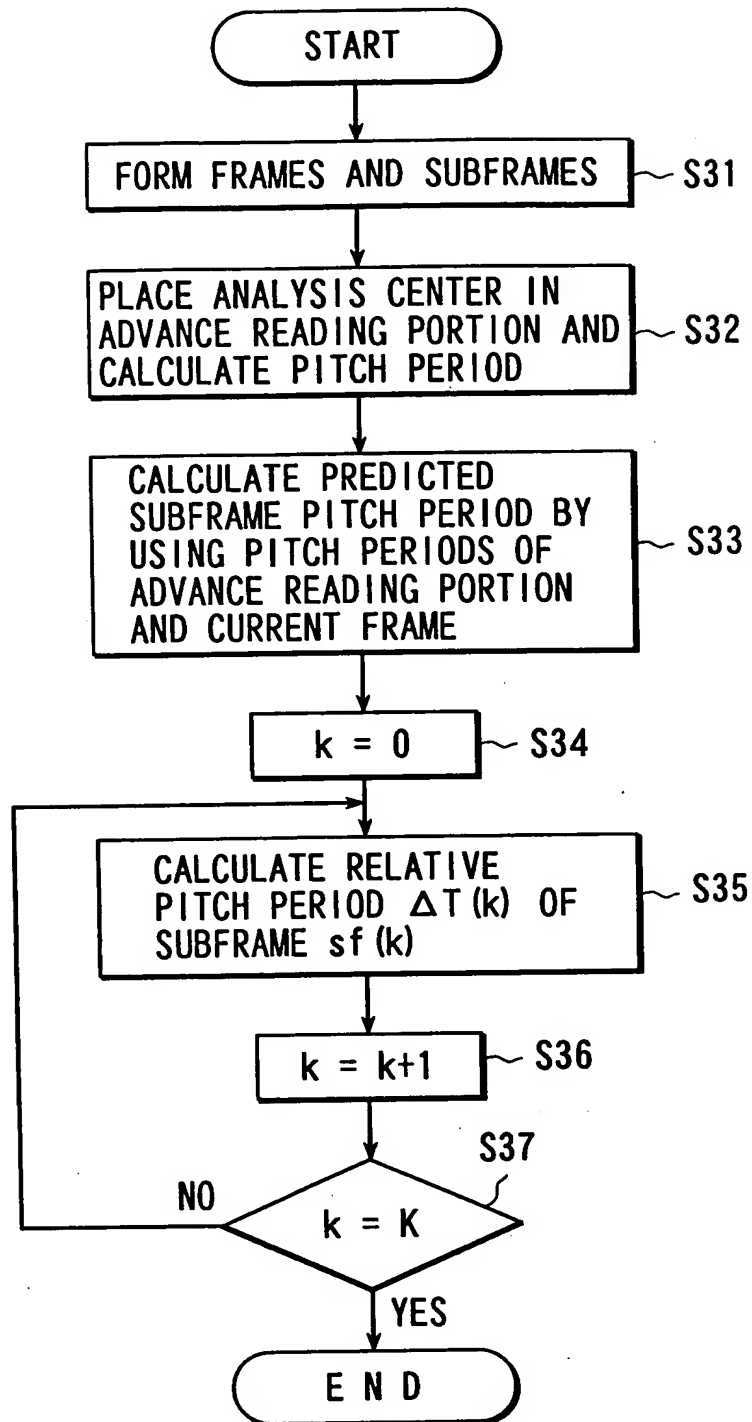


FIG. 32

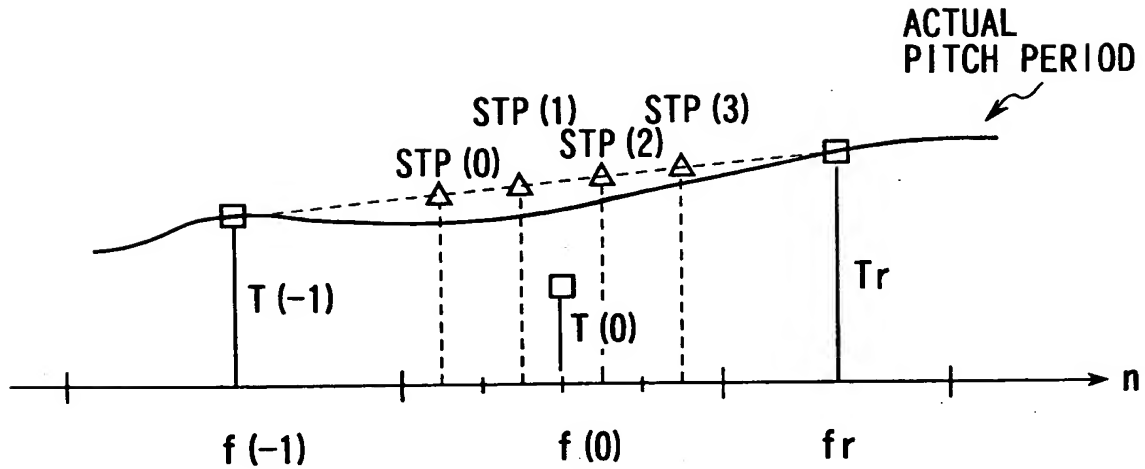


FIG. 33

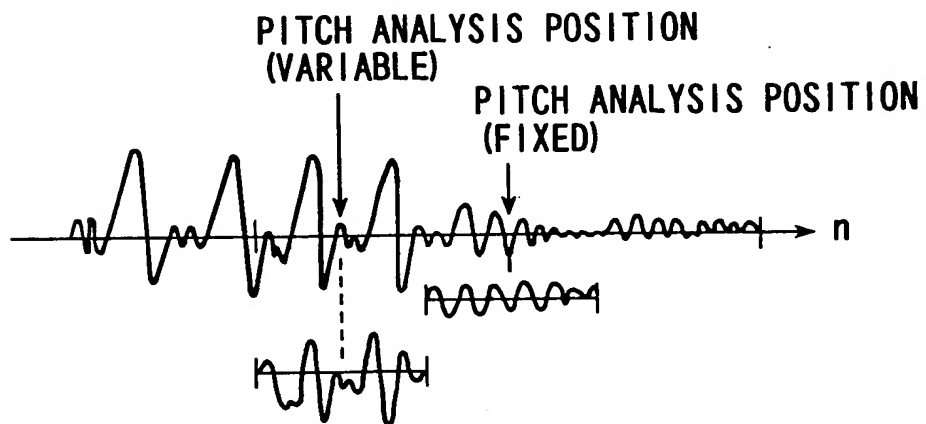


FIG. 45

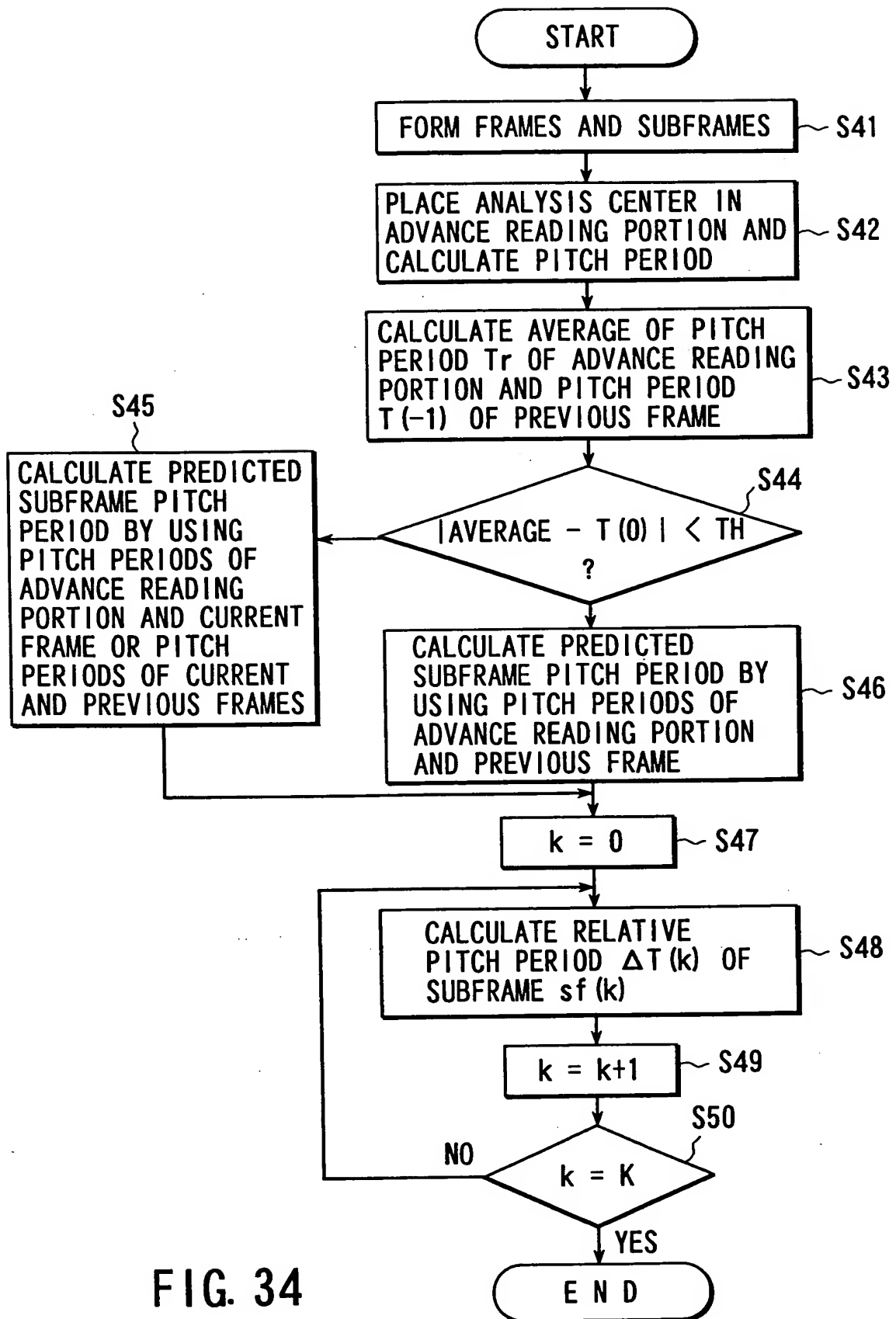


FIG. 34

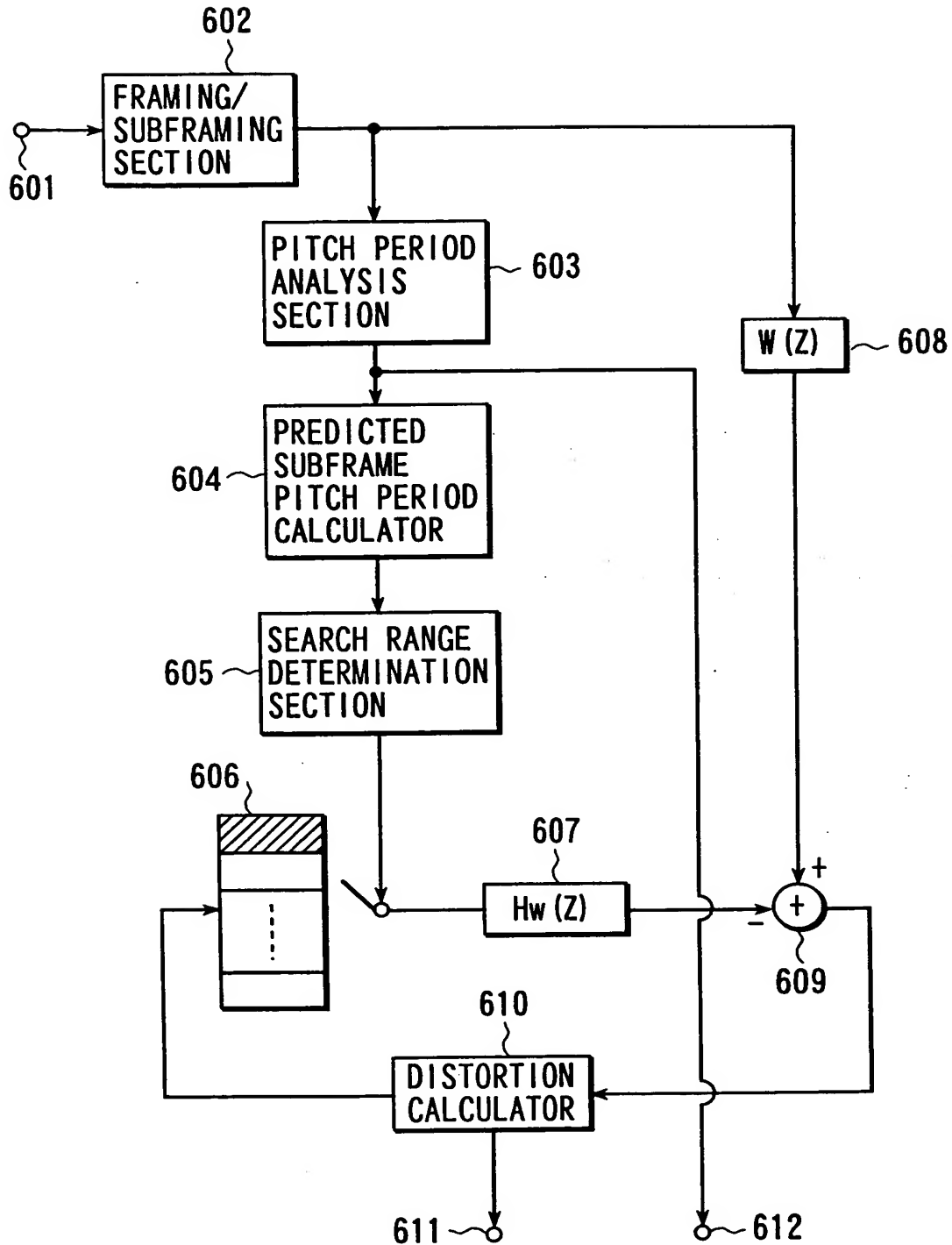


FIG. 35

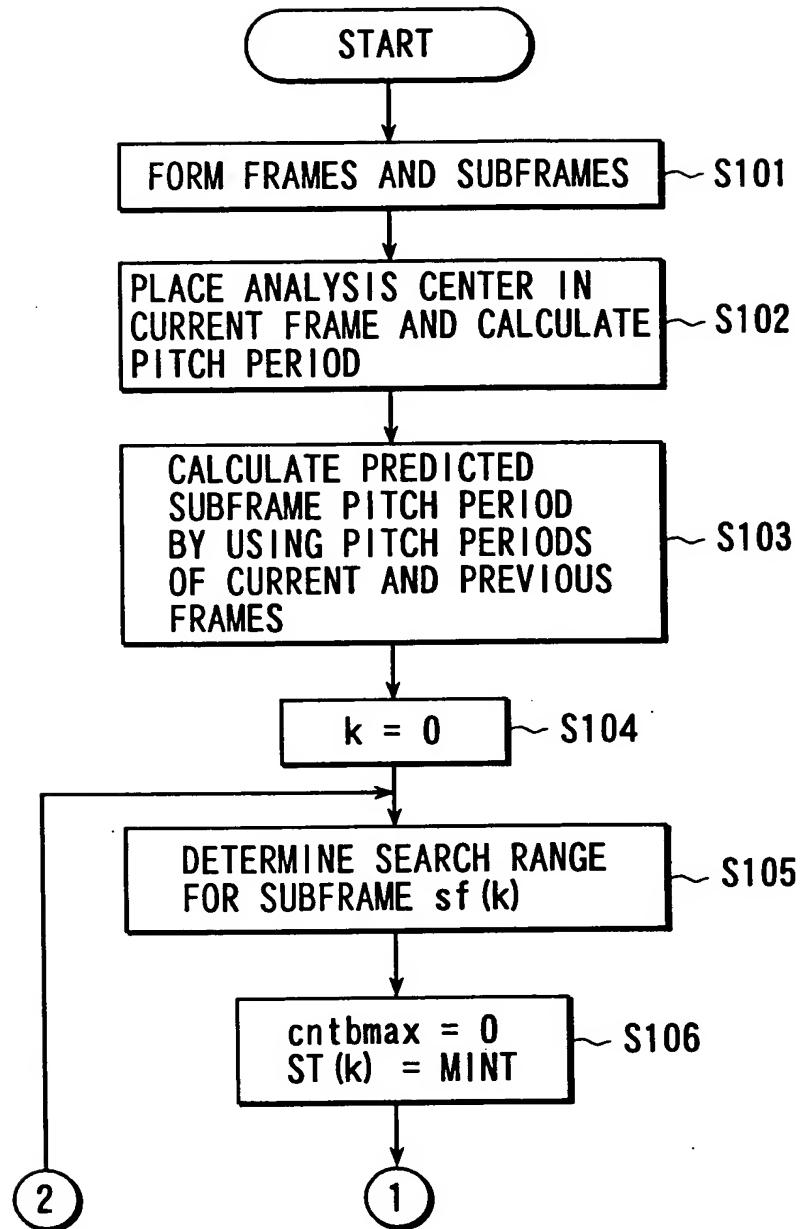


FIG. 36

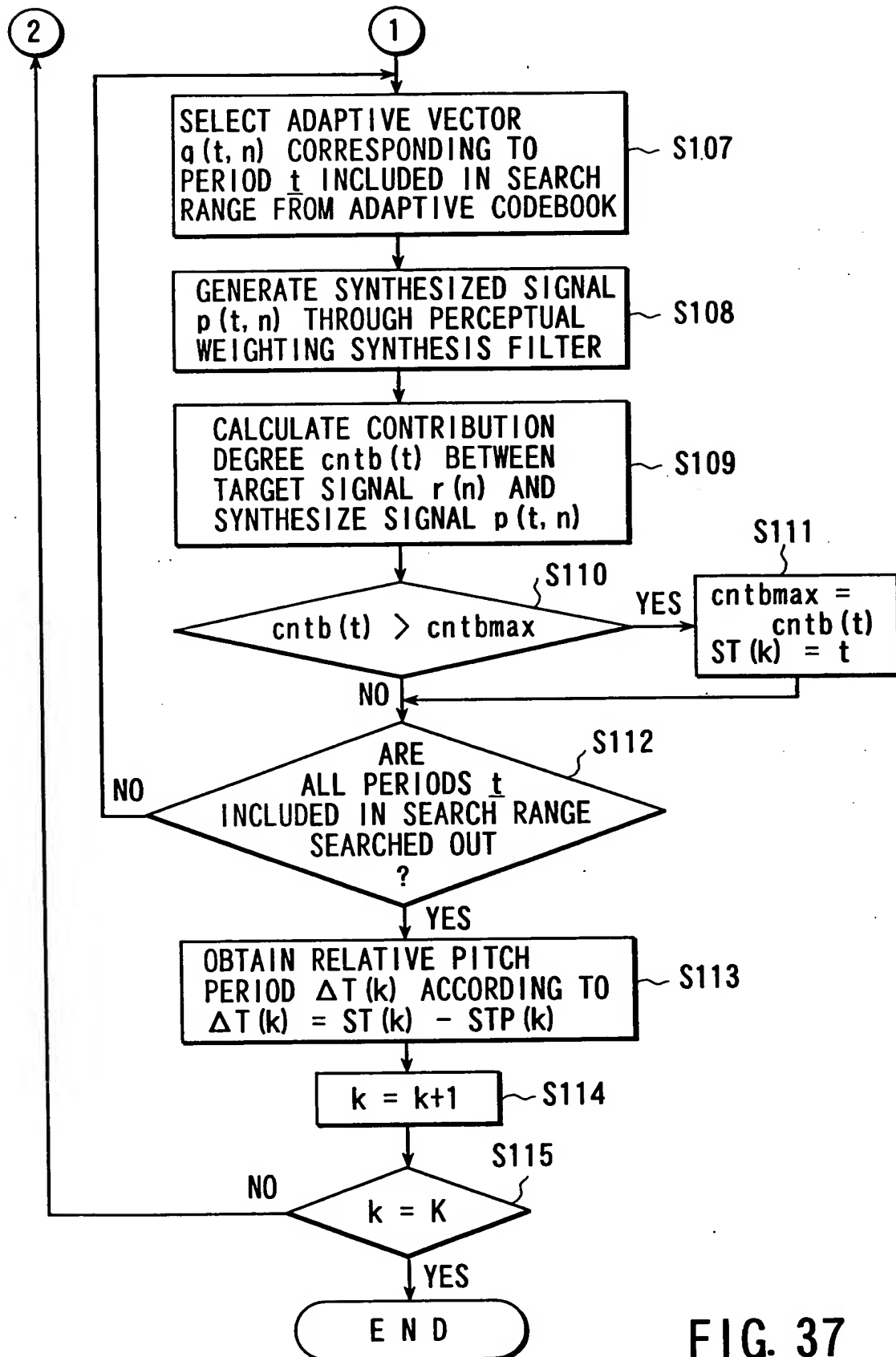


FIG. 37

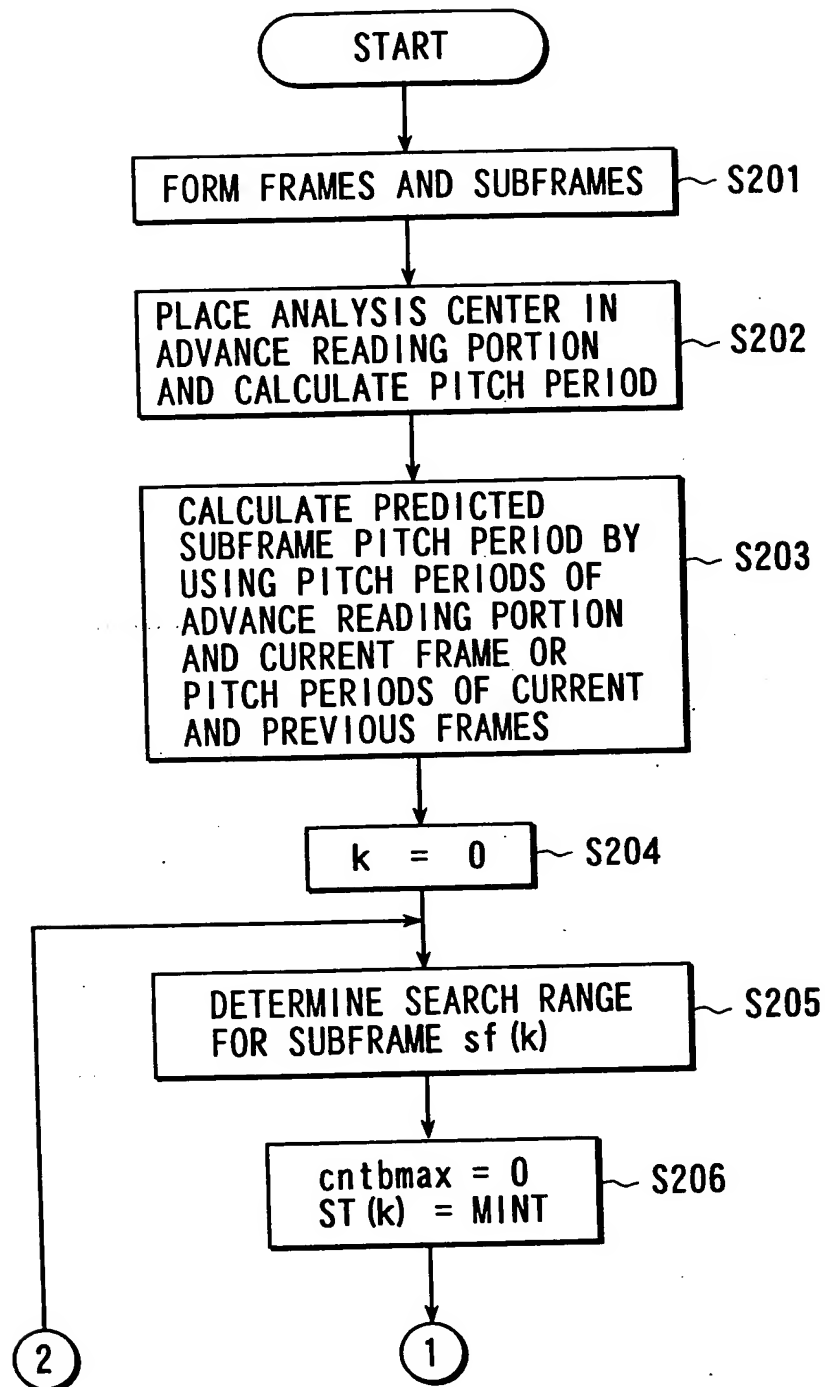


FIG. 38

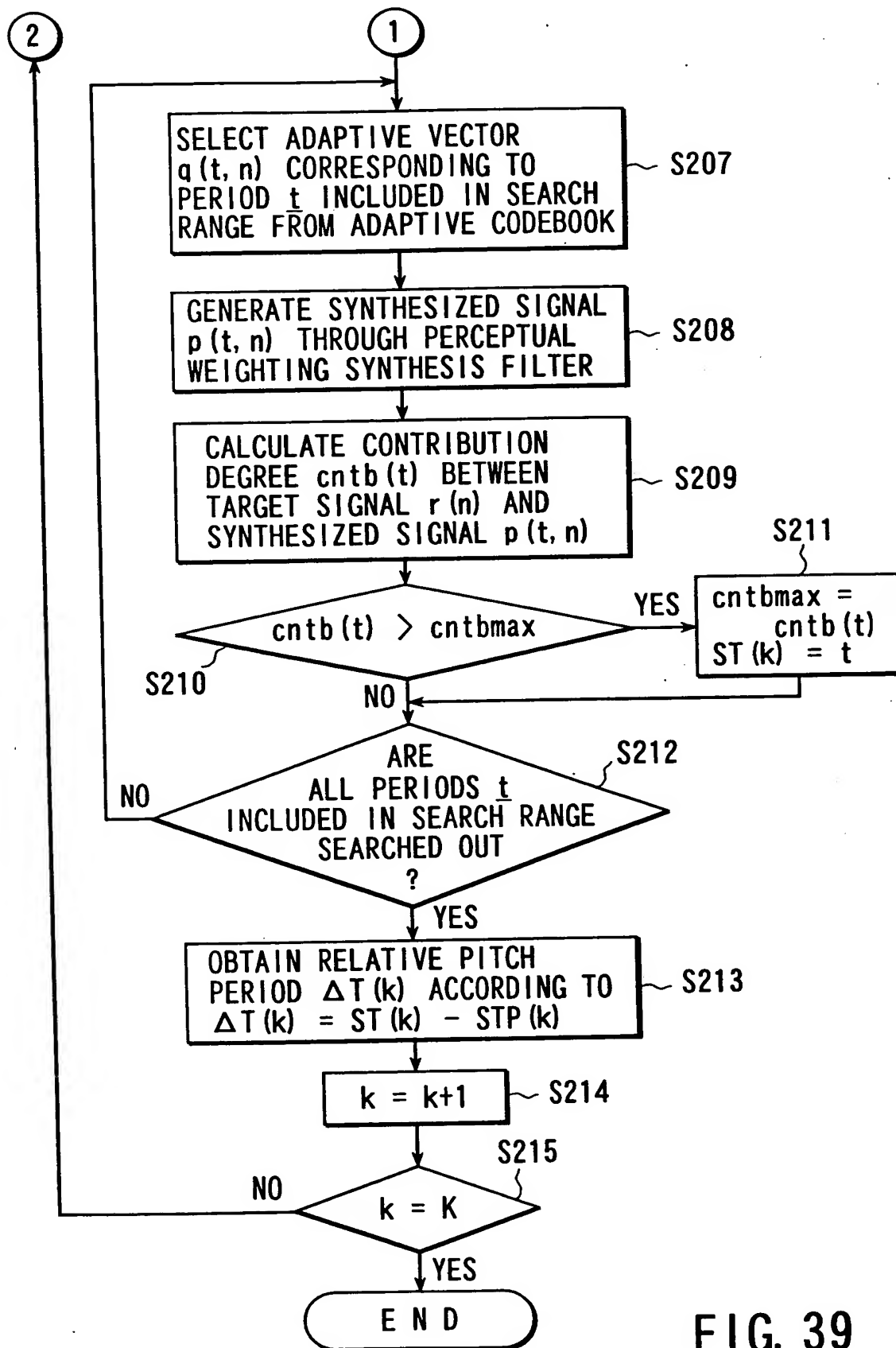


FIG. 39

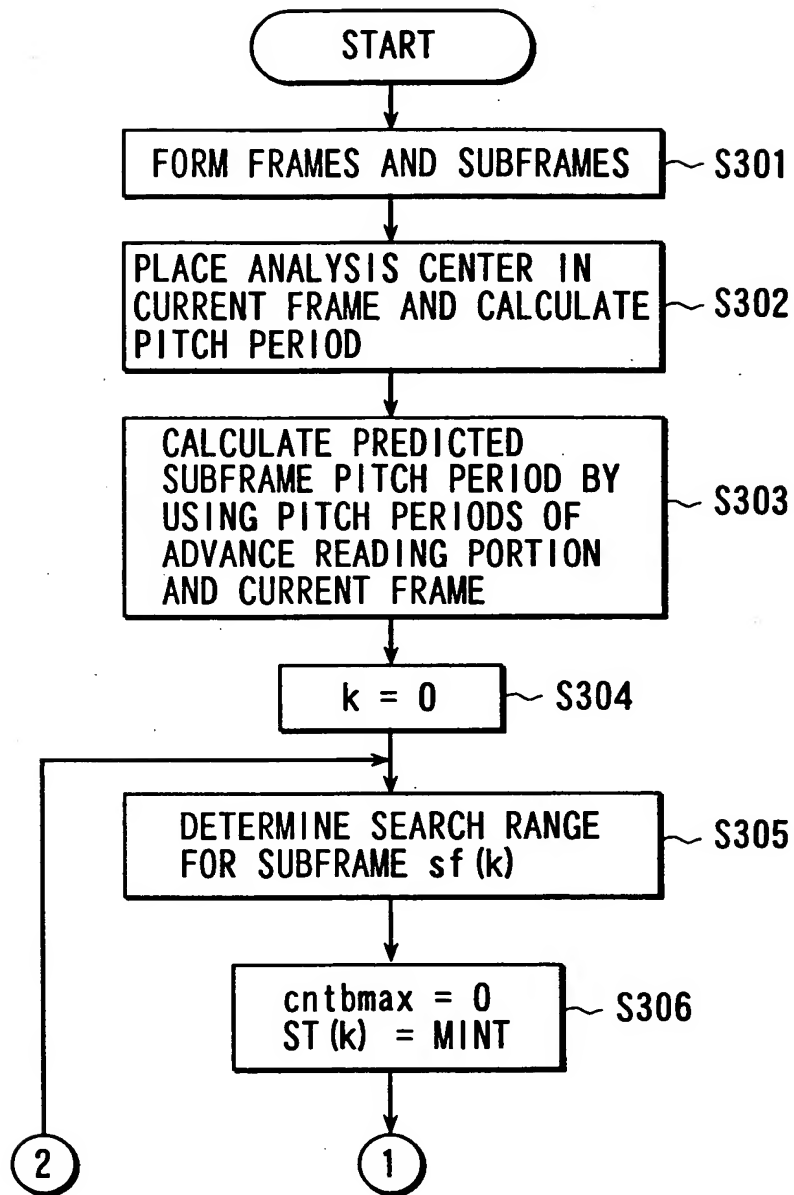


FIG. 40

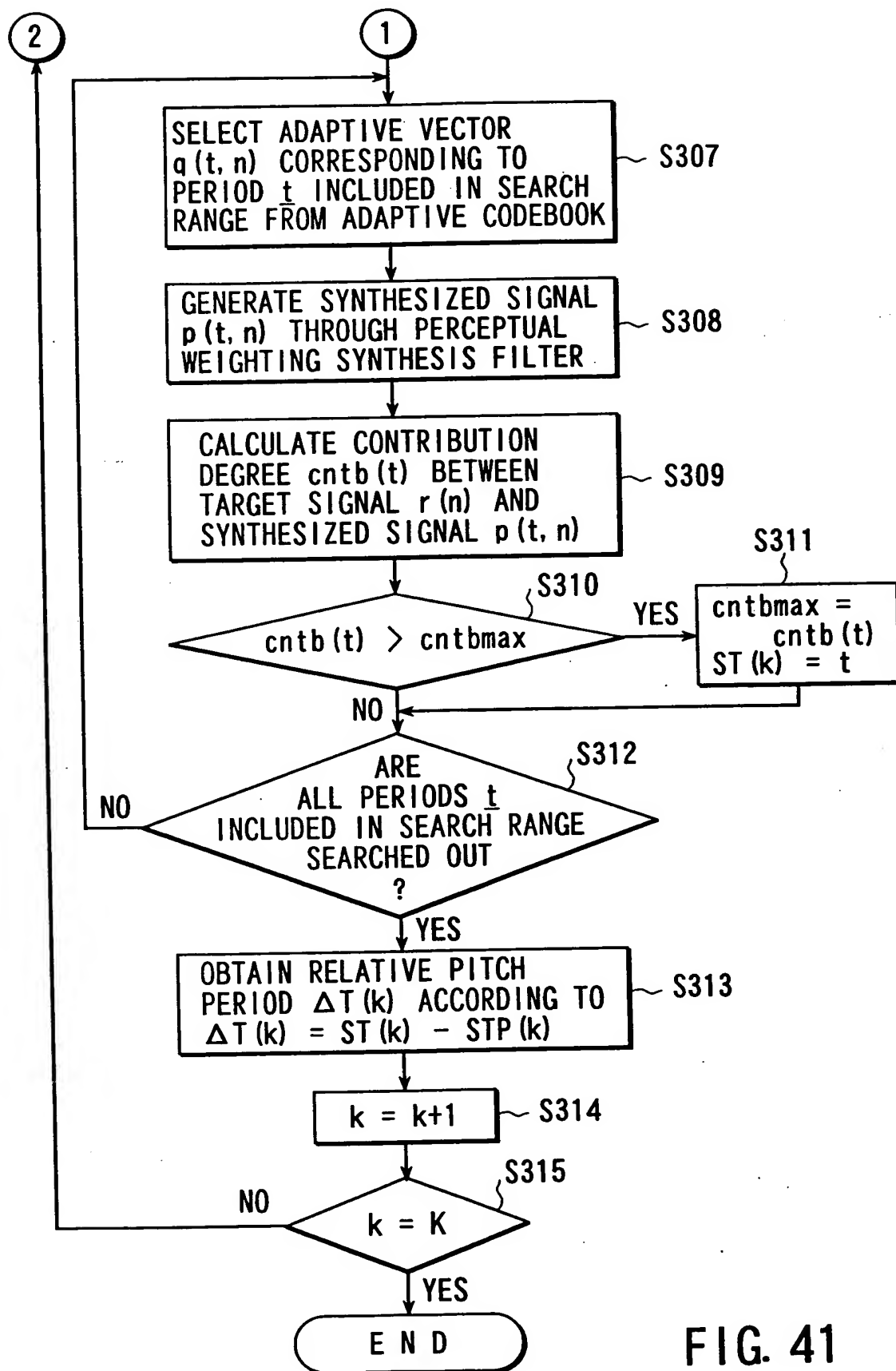
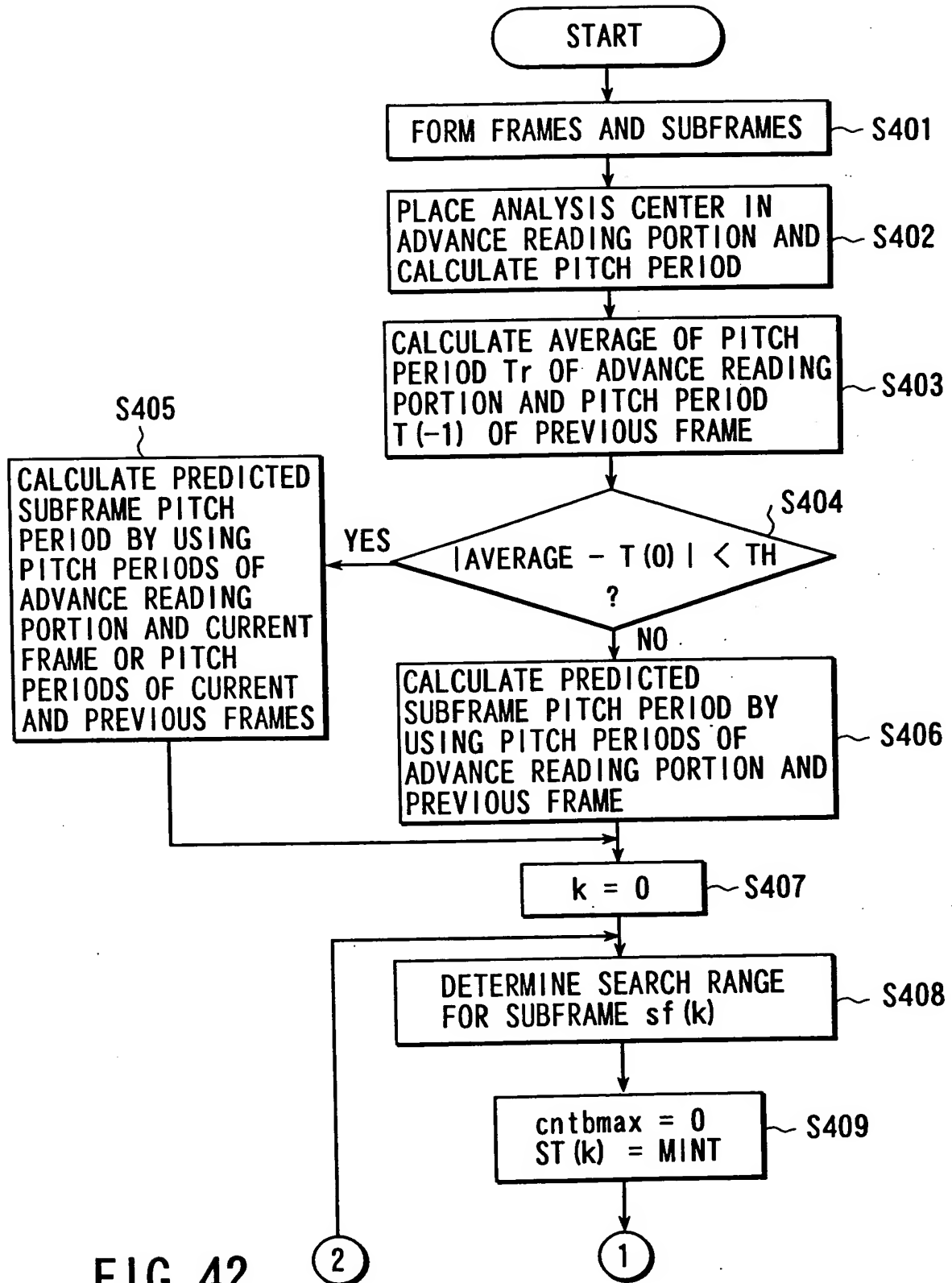


FIG. 41



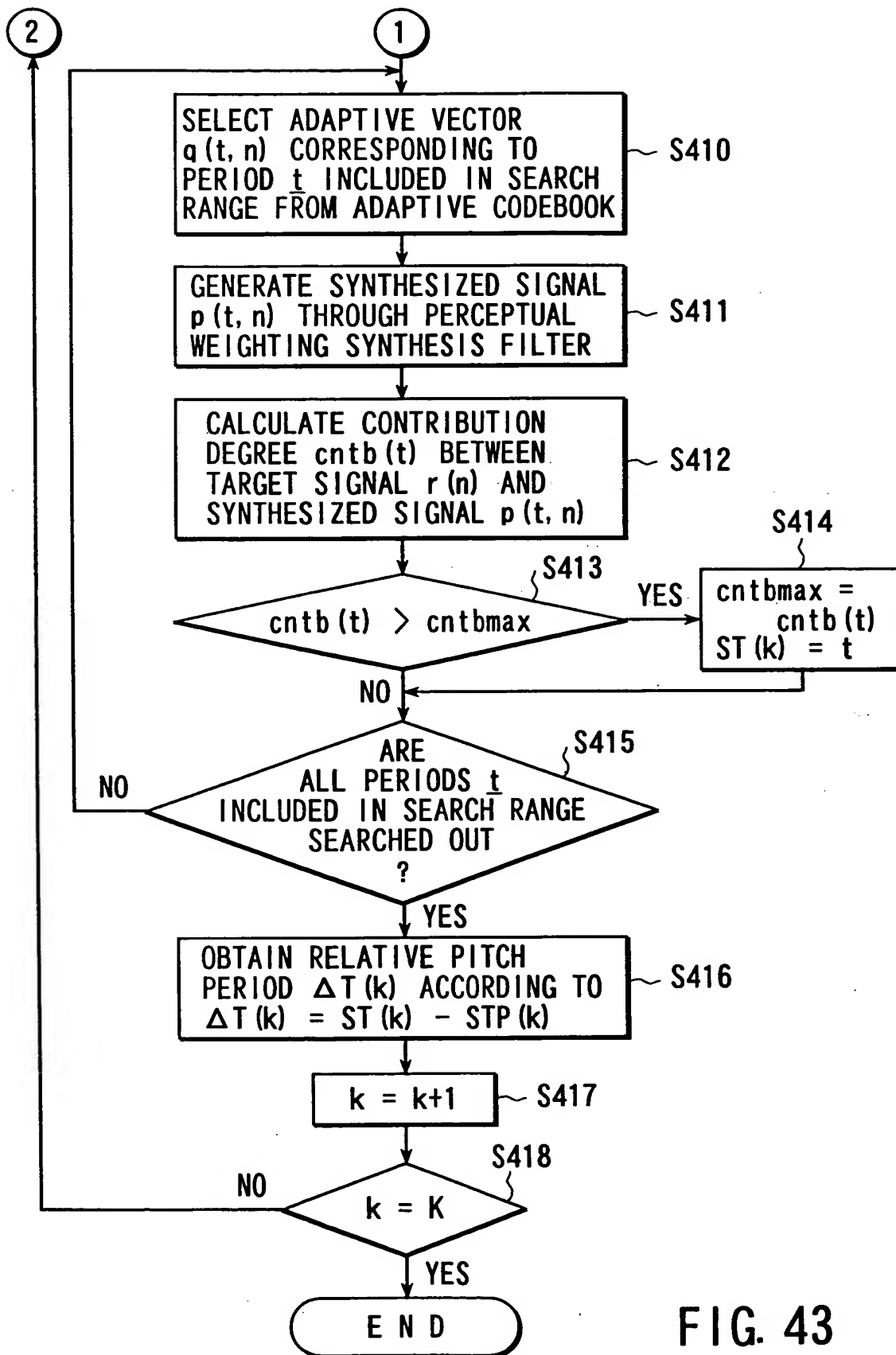


FIG. 43

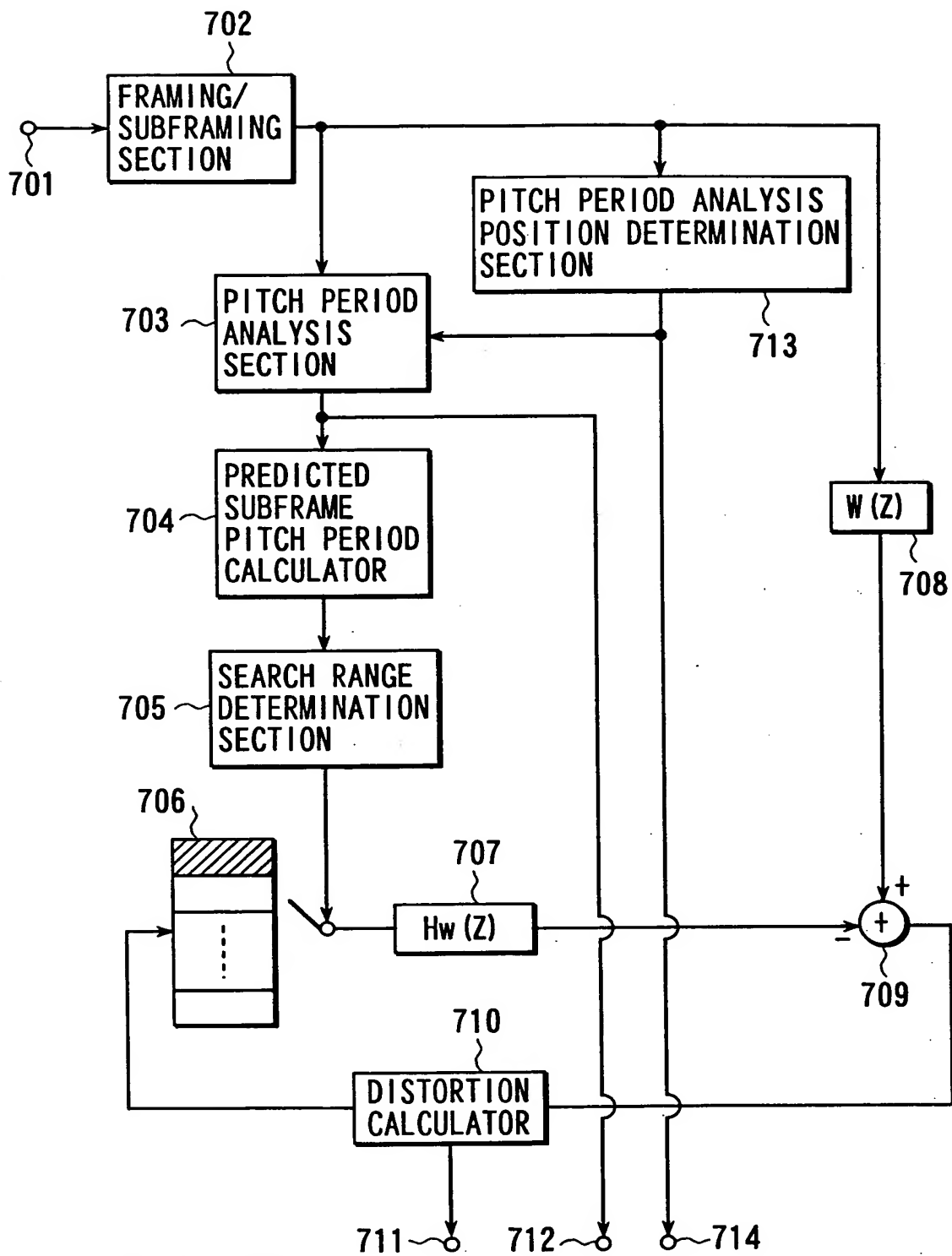


FIG. 44

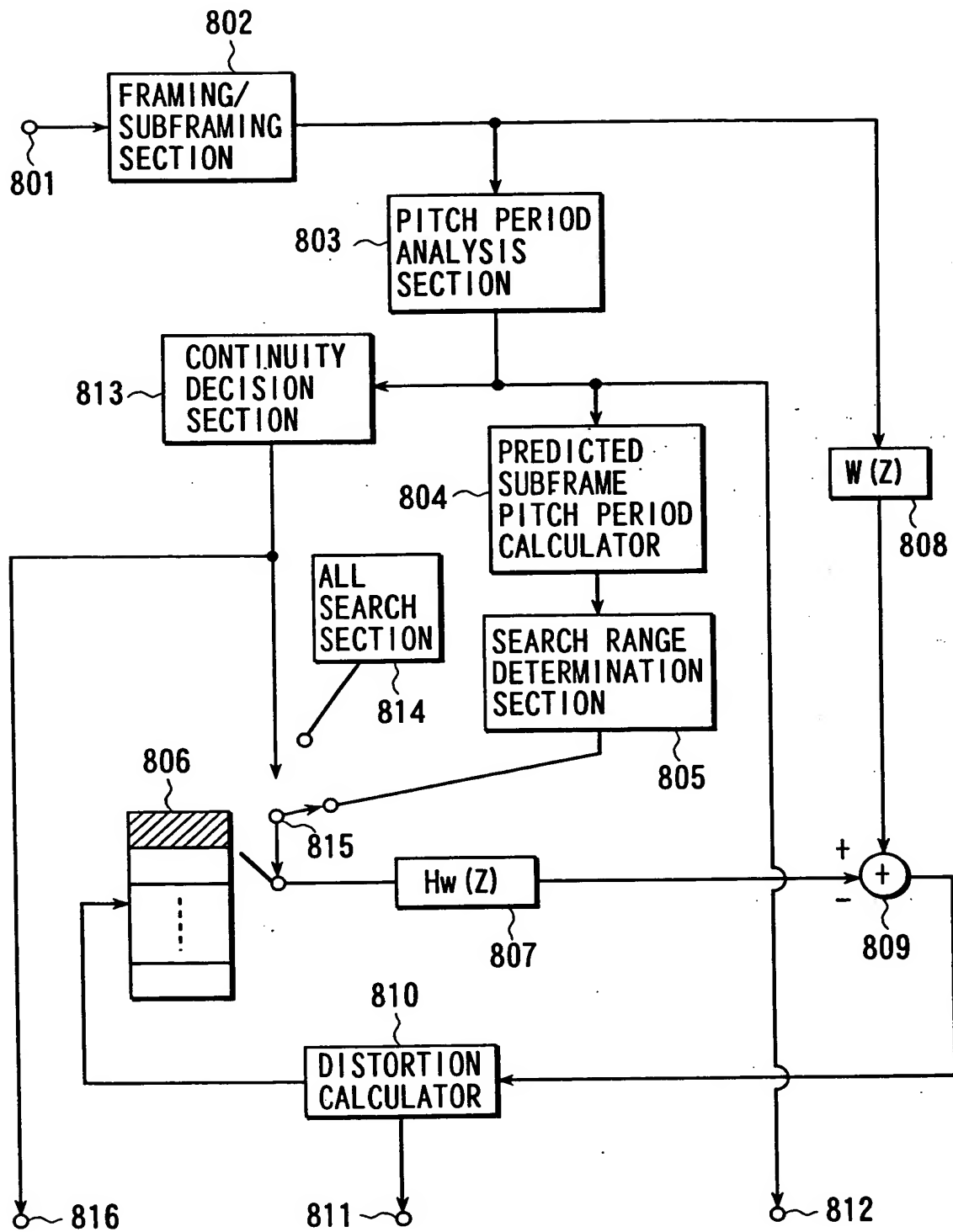


FIG. 46

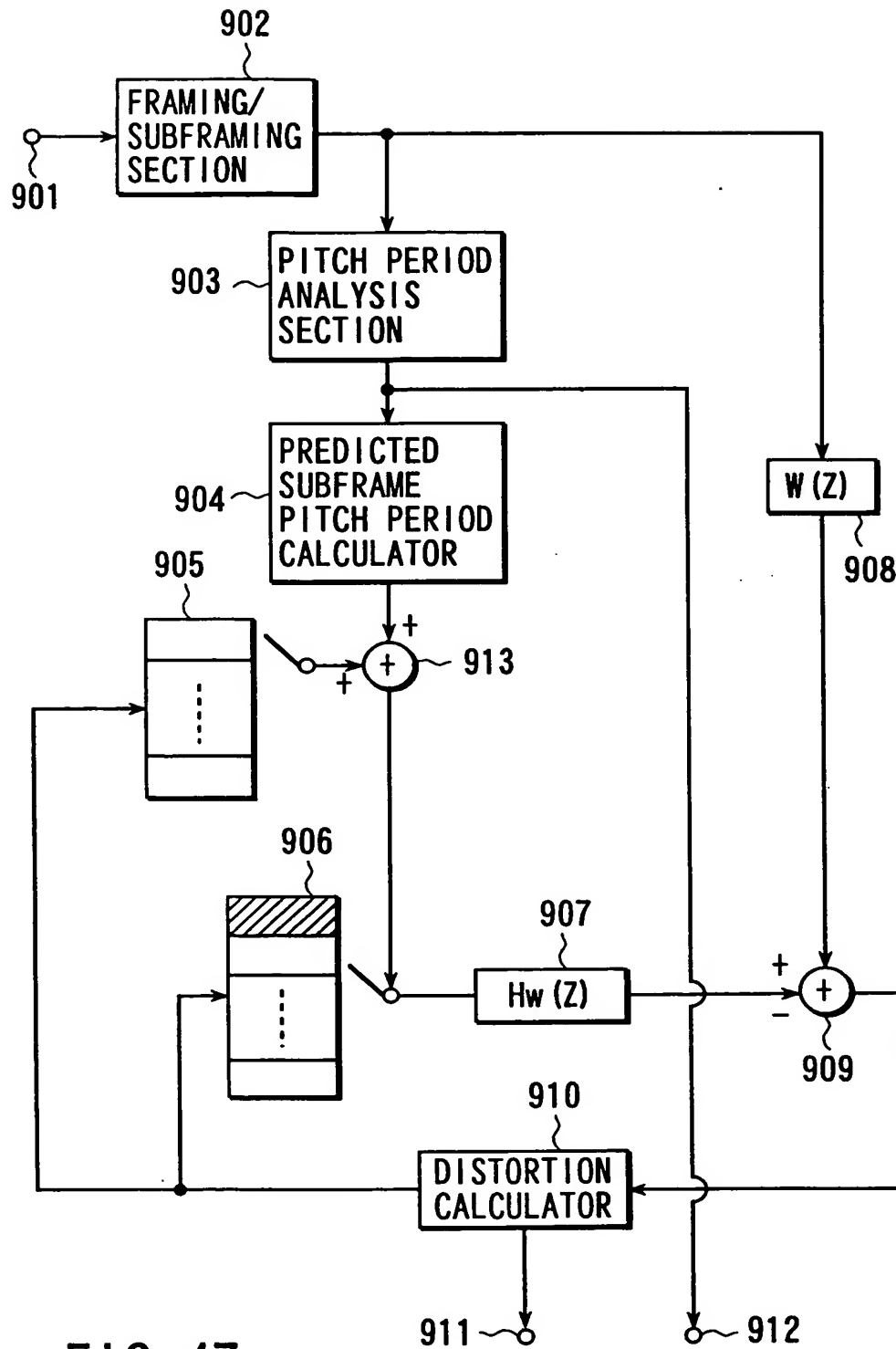


FIG. 47

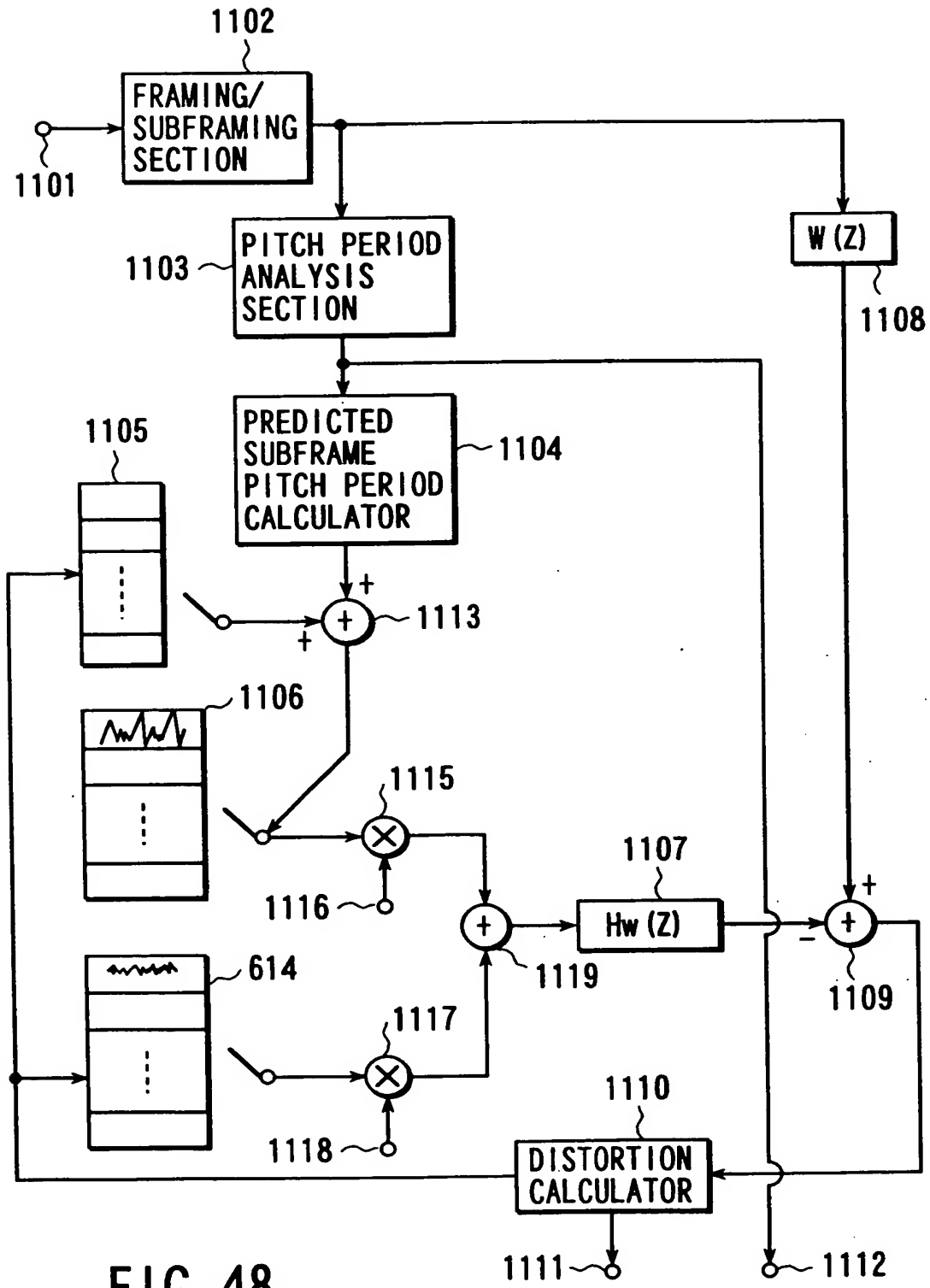


FIG. 48



FIG. 49

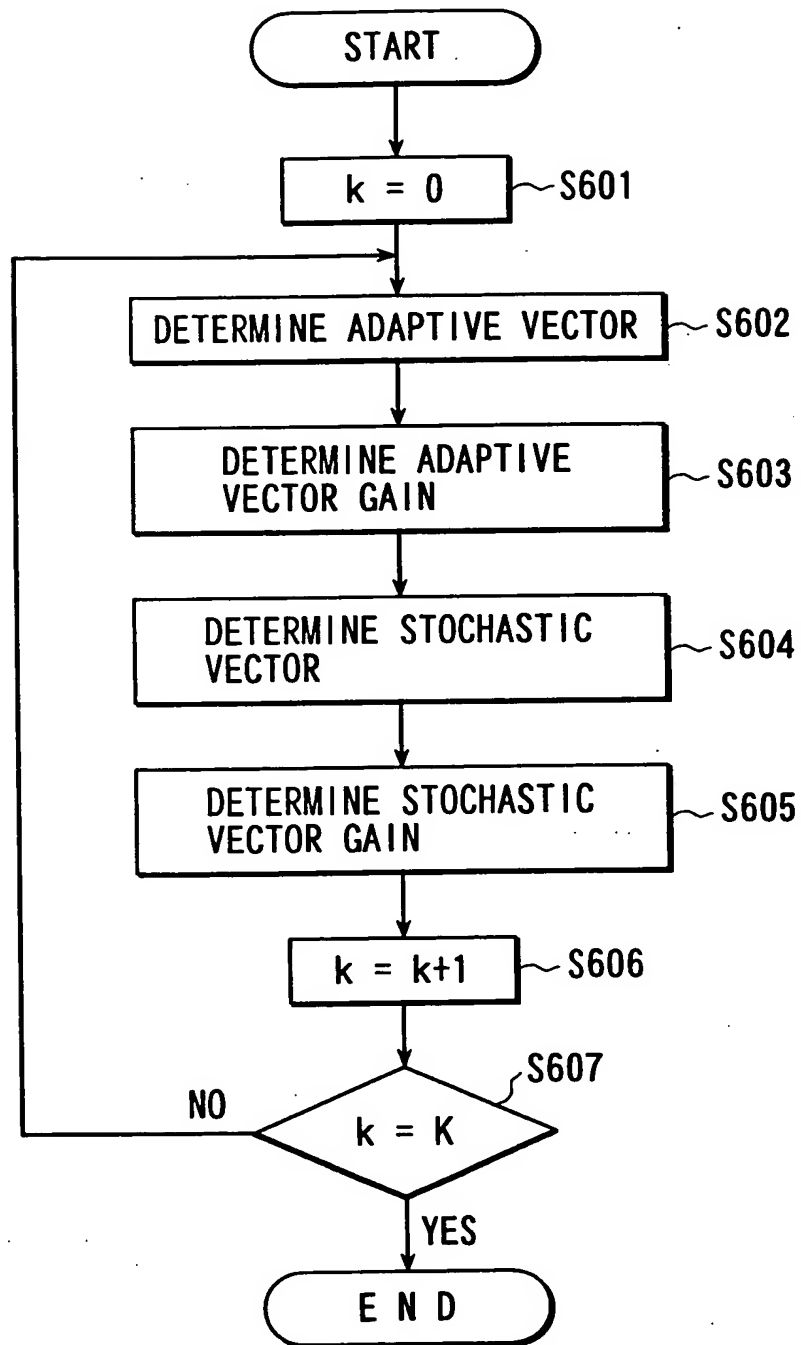


FIG. 50

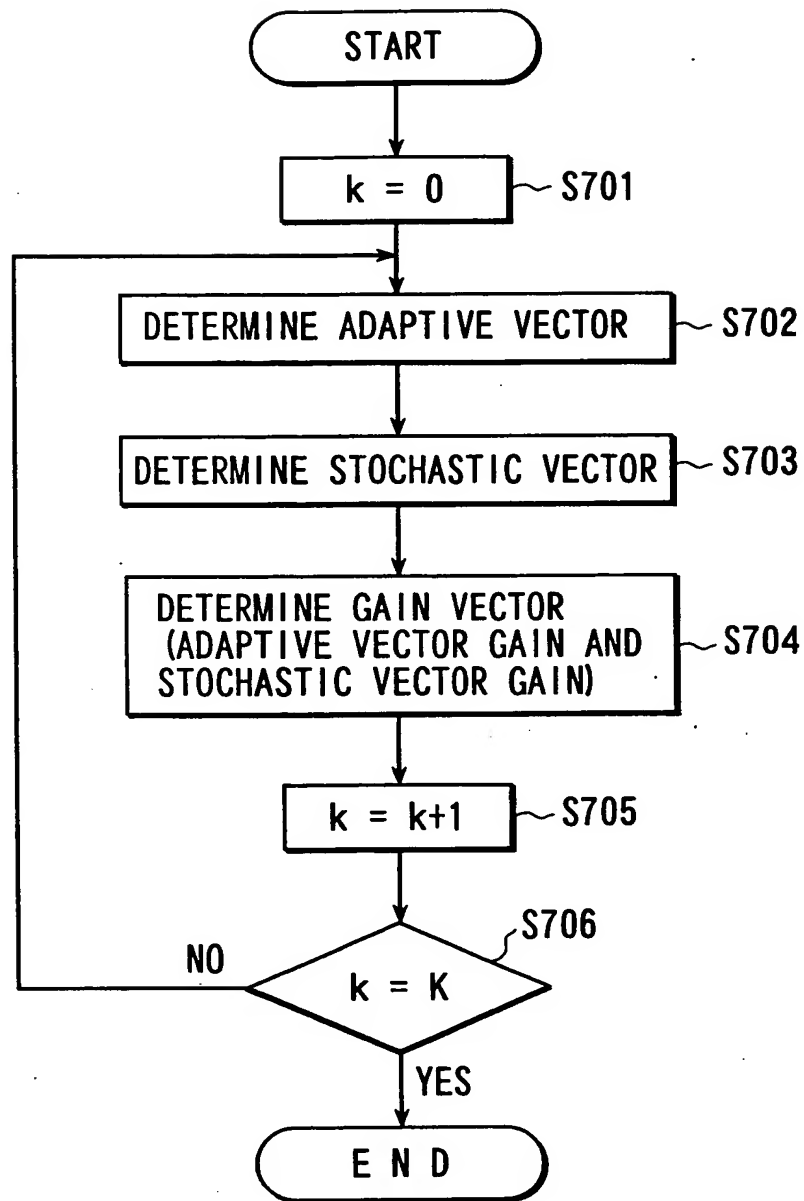
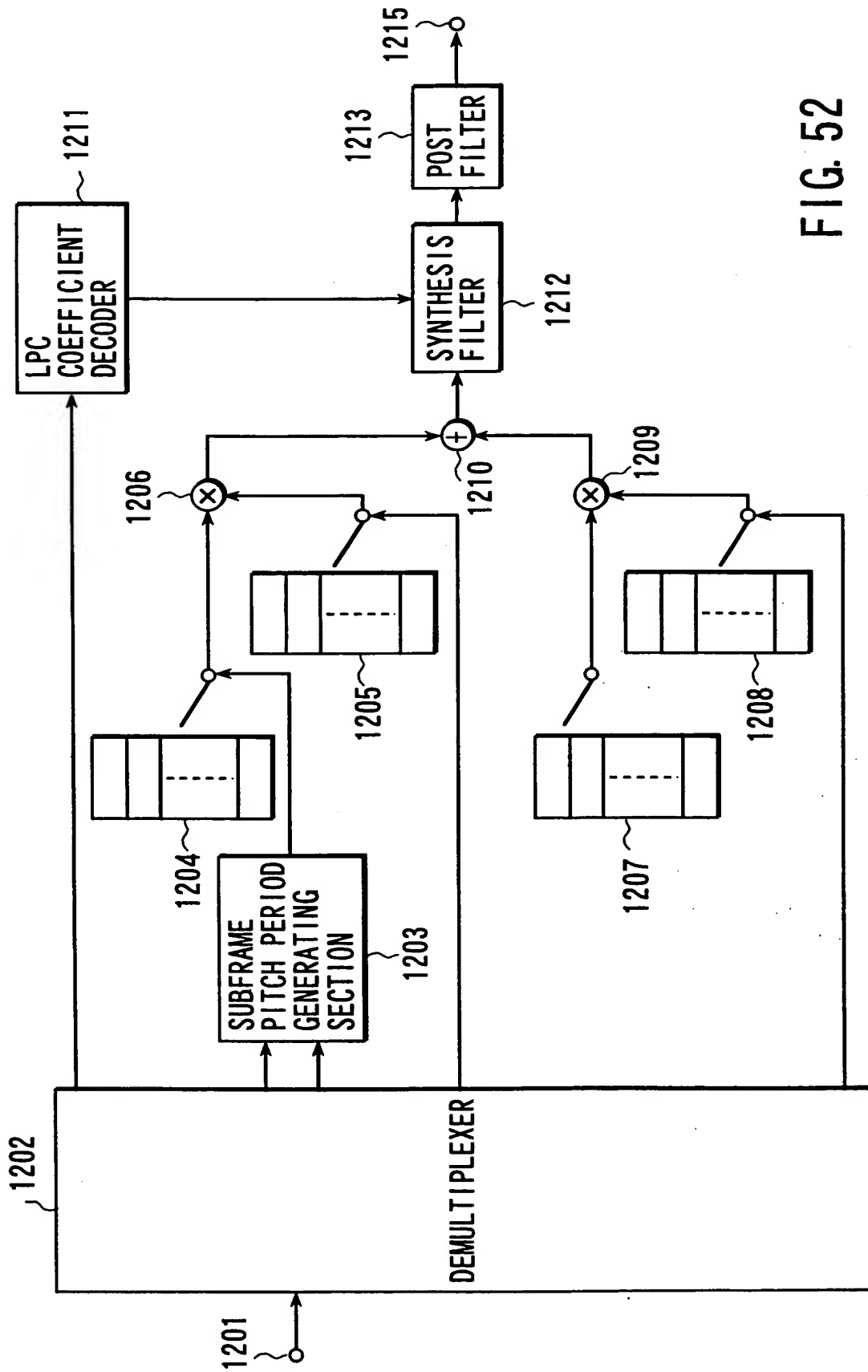


FIG. 51



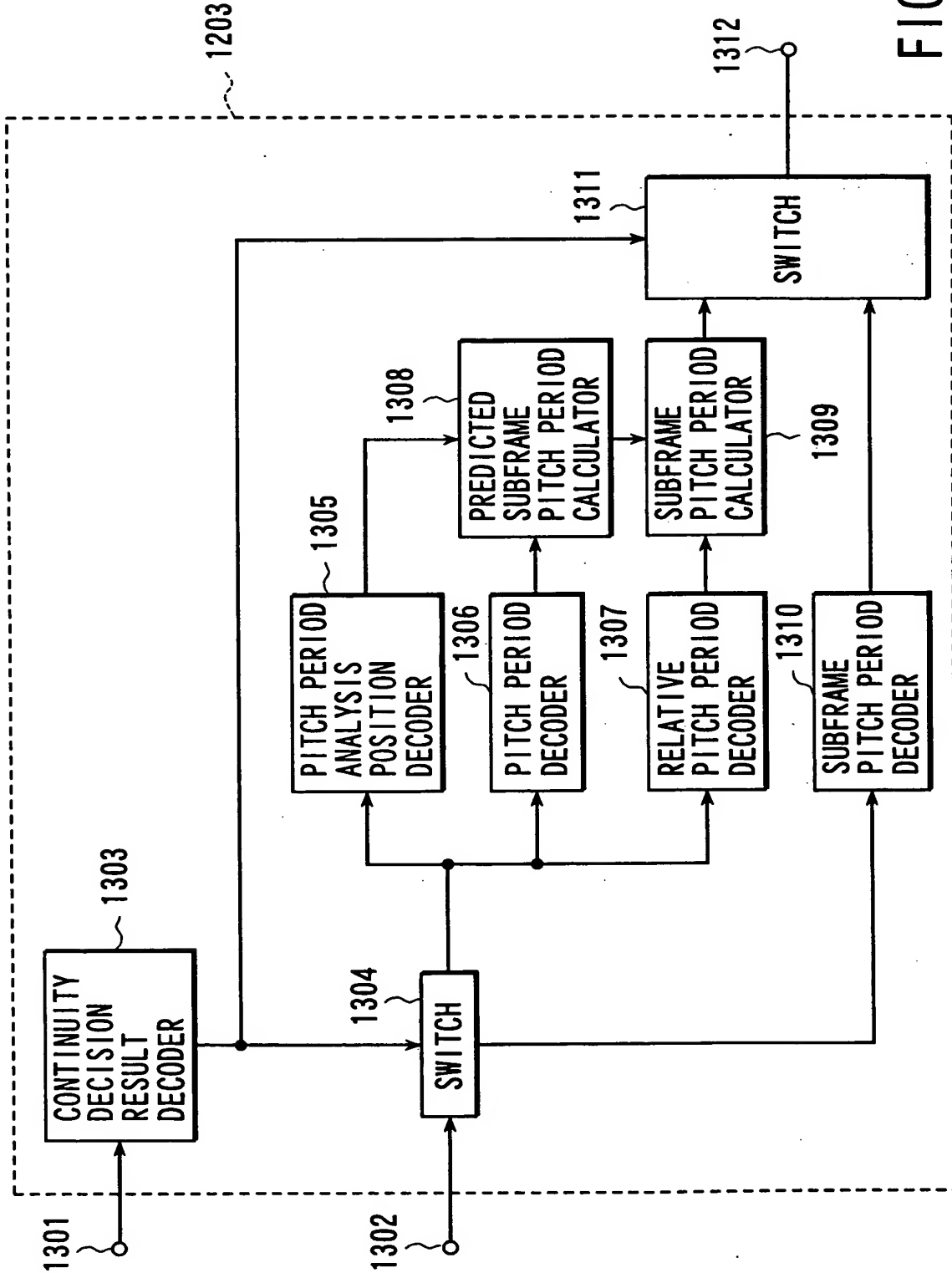


FIG. 53

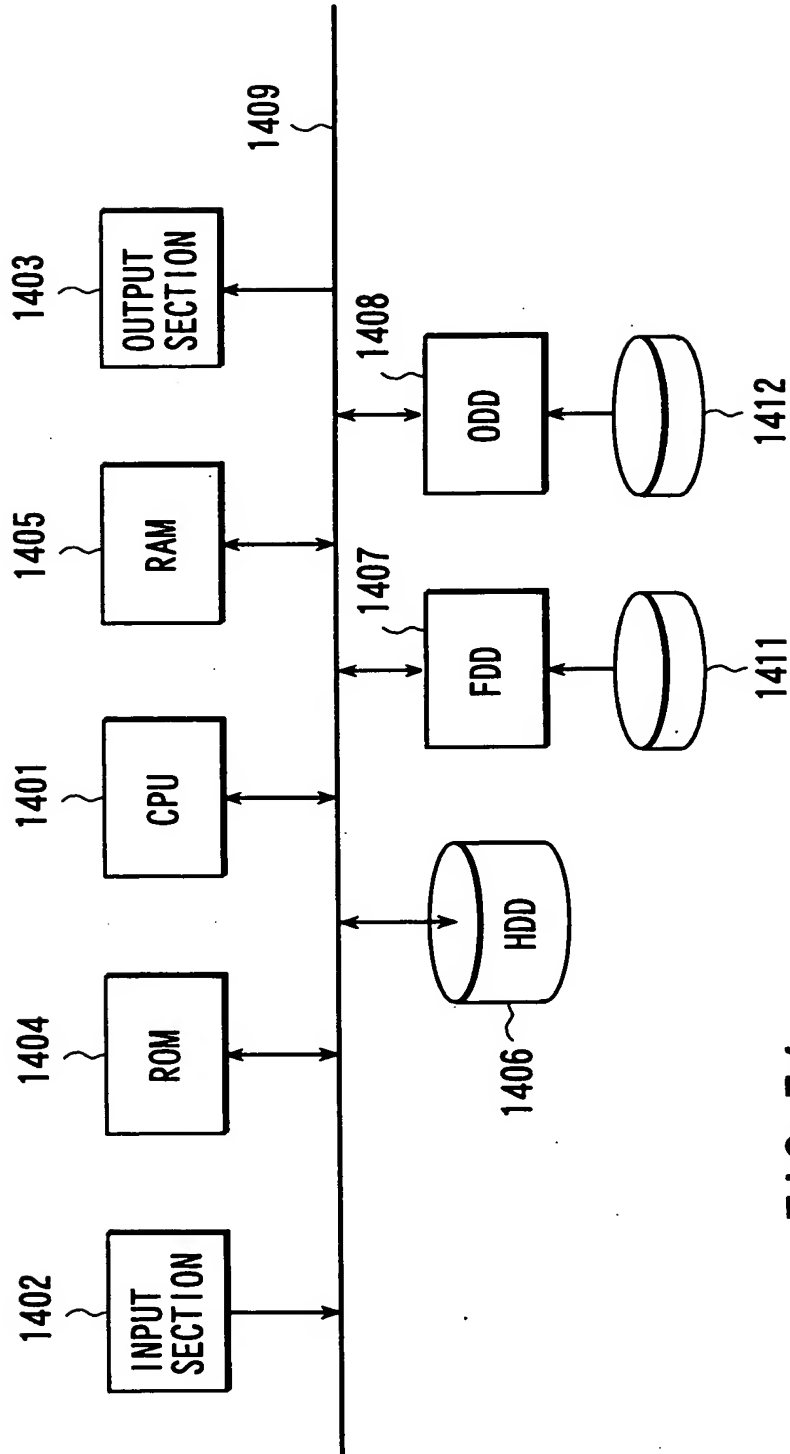


FIG. 54